

## รายการอ้างอิง

### ภาษาไทย

กรมอุตุนิยมวิทยา, กองภูมิอากาศ. ข้อมูลอากาศรายชั่วโมง [Computer file]. กรุงเทพมหานคร : กรมอุตุนิยมวิทยา, 2544.

ตุลย์ มณีวัฒนา และ อัครา กิจการเจริญสิน. อุณหภูมิออกแบบสำหรับกรุงเทพมหานคร เชียงใหม่ หาดใหญ่ และ อุบลราชธานี. การประชุมวิชาการเครือข่ายวิศวกรรมเครื่องกลแห่งประเทศไทยครั้งที่ 15. หน้า RA46 – RA50. 28 –30 พฤศจิกายน 2544 ณ มหาวิทยาลัยศรีนครินทรวิโรฒ กรุงเทพมหานคร.

สมบูรณ์ ดิรสิทธิ์. การศึกษาเชิงวิเคราะห์ของการถ่ายเทความร้อนผ่านระบบหลังคา. วิทยานิพนธ์ปริญญาโทบริหารธุรกิจ ภาควิชาเครื่องกล บัณฑิตวิทยาลัย จุฬาลงกรณ์มหาวิทยาลัย, 2543.

### ภาษาอังกฤษ

Akins, R. E., Peterka, J. A. and Cermak, J. E. Averaged pressure coefficients for rectangular buildings. Wind Engineering (1979) : 369-380.

ASHRAE. 1997 ASHRAE Fundamental Handbook. Atlanta : American Society of Heating, Refrigeration and Air-Conditioning Engineers, 1997.

ASHRAE. 2001 ASHRAE Fundamental Handbook. Atlanta : American Society of Heating, Refrigeration and Air-Conditioning Engineers, 2001.

ASHRAE. Standard 55-1981 : Thermal Environmental Conditions for Human Occupancy. Atlanta : American Society of Heating, Refrigeration and Air-Conditioning Engineers, 1981.

ASHRAE. Standard 55-1995a : Thermal Environmental Conditions for Human Occupancy. Atlanta : American Society of Heating, Refrigeration and Air-Conditioning Engineers, 1995.

Boon-Long, P. et al. Simulation of natural ventilation in three types of public buildings in Thailand. ASHRAE/USAID, Proceedings of the ASEAI Far East Conference on Air Conditioning in Hot Climates. pp. 188-199. Kuala Lumpur, 1989.

Fanger, P. O. Thermal Comfort Analysis and Applications in Environmental Engineering. New York : McGraw-Hill, 1970.

- Gagge, A. P.; Fobelets, A. P. and Berglund, L. G. A standard predictive index of human response to the thermal environmental. ASHRAE Transactions 92 (1986) : 709-731.
- Hittle, D. C. Calculation building heating and cooling loads using the frequency response of multilayered slab. Ph.D. Thesis, Department of Mechanical and Industrial Engineering, University of Illinois, 1979.
- Hittle, D. C. An improved root-finding procedure for use in calculating transient heat flow through multilayered slabs. International Journal of Heat and Mass Transfer 26 (1983) : 1685-1693.
- Int-Hout, D. Thermal Comfort Calculations / a computer model. ASHRAE Transactions 92 (1990) : 1027-1038.
- ISO 7730. International Standard : Moderate thermal environments-Determination of the PMV and PPD indices and specification of the conditions for thermal comfort. 2<sup>nd</sup> ed. Geneva : International Organization for Standardization, 1994.
- Klote, J. H. and Milke, J. A. Design of Smoke Management Systems. Atlanta : American Society of Heating, Refrigerating and Air-Conditioning Engineers, 1992.
- Liesen, R. J. and Pederson, C. O. An evaluation of inside surface heat balance models for cooling load calculation. ASHRAE Transactions 103 (1997) : 485-502.
- McClellan, T. M. and Pederson, C. O. Investigation of outside heat balance models for use in a heat balance cooling load calculation procedure. ASHRAE Transactions 103 (1997) : 469-484.
- Pederson, C. O. and others. Cooling and Heating Load Calculation Principles. Atlanta : American Society of Heating, Refrigerating and Air-Conditioning Engineers, 1998.
- Pederson, C. O.; Fisher, D. E. and Liesen, R. J. Development of a heat balance based procedure for calculating cooling load. ASHRAE Transaction 103 (1997) : 459-468.

## บรรณานุกรม

### ภาษาไทย

กำแพง จิตต์โสภักดิ์. การพัฒนาโปรแกรมคอมพิวเตอร์เพื่อการวิเคราะห์การไหลของอากาศภายในอาคาร. วิทยานิพนธ์ปริญญาโทบริหารศึกษาศาสตร์ สาขาวิชาเครื่องกล บัณฑิตวิทยาลัย จุฬาลงกรณ์มหาวิทยาลัย, 2542.

### ภาษาอังกฤษ

ASHRAE. 1993 ASHRAE Fundamental Handbook. Atlanta : American Society of Heating, Refrigeration and Air-Conditioning Engineers, 1993.

Awbi, H. Ventilation of Buildings. London : Spon, 1991.

Burden, R. L. and Faires, J. D. Numerical Analysis. 7th ed. United States of America : Wadsworth Group, 2001.

Chapman, S. J. Fortran 90/95 for scientists and Engineers. McGraw-Hill, 1998.

Chapra, S. C. and Canale, R. P. Numerical Methods for Engineers. 3rd ed. Singapore : McGraw-Hill, 1998.

Doherty, T.J. and Arens E. Evaluation of the physiological bases of the thermal comfort models. ASHRAE Transaction 94 (1998) : 1371-1378.

Etzel, M. and Dickeson, K. Digital Visual Fortran Programmer's Guide. 3<sup>rd</sup> ed. United States of America : Digital Press, 1999.

Fobelets, A. P. R. and Gagge, A. P. Rationalization of the effective temperature ET\*, as a measure of the enthalpy of the human indoor environment. ASHRAE Transactions 94 (1988) : 12-31.

Fountain, M. E. and Hoizenga, C. User's Manual for the ASHRAE Thermal Comfort Model. Atlanta : American Society of Heating, Refrigerating and Air-Conditioning Engineers, 1995.

McQuiston, F. C. And Spitler, J. D. Cooling and Heating Load Calculation Manual. 2<sup>nd</sup> ed. Atlanta : American Society of Heating, Refrigeration and Air-Conditioning Engineers, 1994.

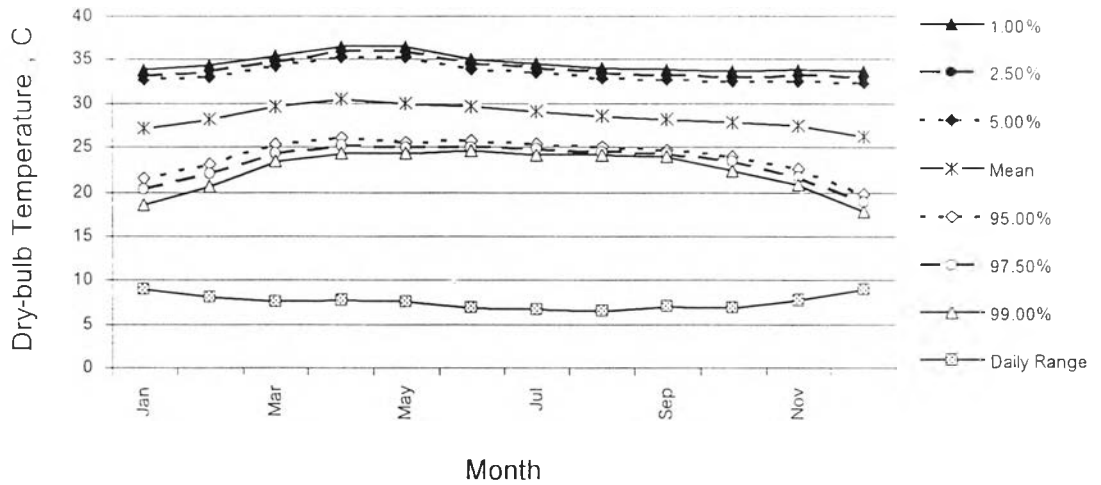
Nyhoff, L. R. and Leestma, S. Fortran 90. New Jersey : Prentice-Hall, 1997.

- Parsons, K. C. Human response to hot environments : a comparison of ISO and ASHRAE methods of assessment. ASHRAE Transactions 92 (1986) : 1027-1038.
- Patankar, S. V. Numerical Heat Transfer and Fluid Flow. McGraw-Hill, 1980.
- Tamura, G. T. Smoke Movement and Control in High-rise Buildings. United States of America : National Fire Protection Association, 1994.

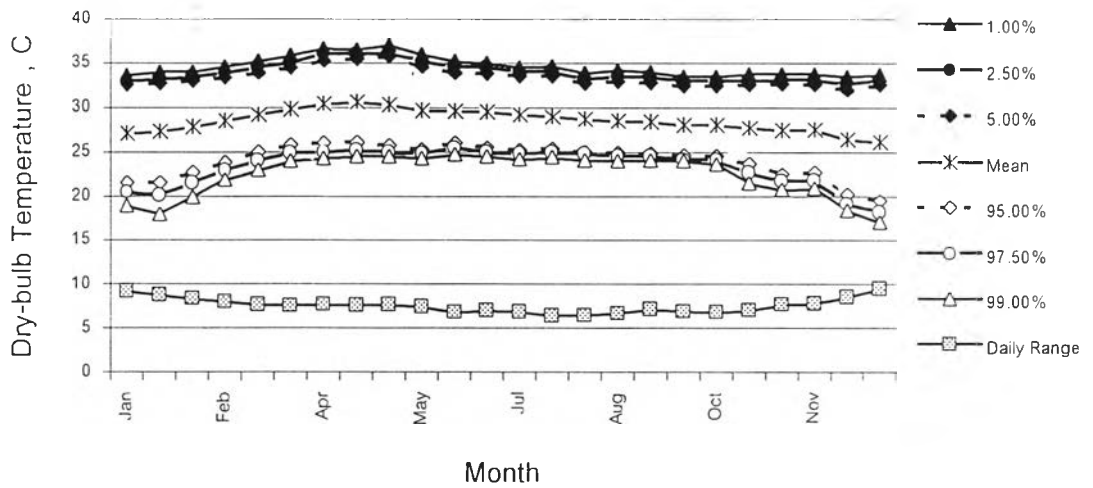
ภาคผนวก

ภาคผนวก ก.

อุณหภูมิอากาศของกรุงเทพมหานคร



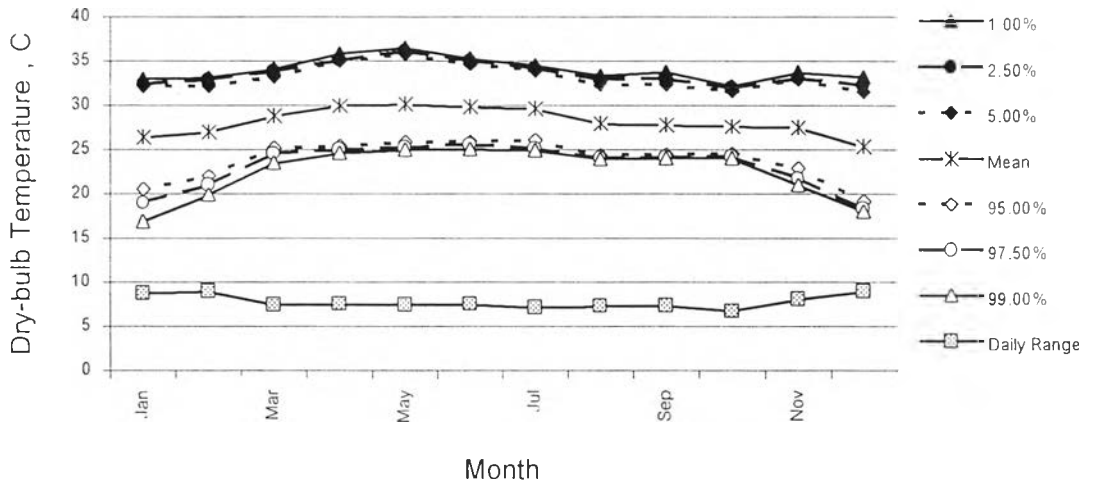
รูป ก.1 อุณหภูมิกระเปาะแห้งในแต่ละเดือนของกรุงเทพมหานคร ตั้งแต่ พ.ศ. 2531 - พ.ศ. 2542<sup>3</sup>



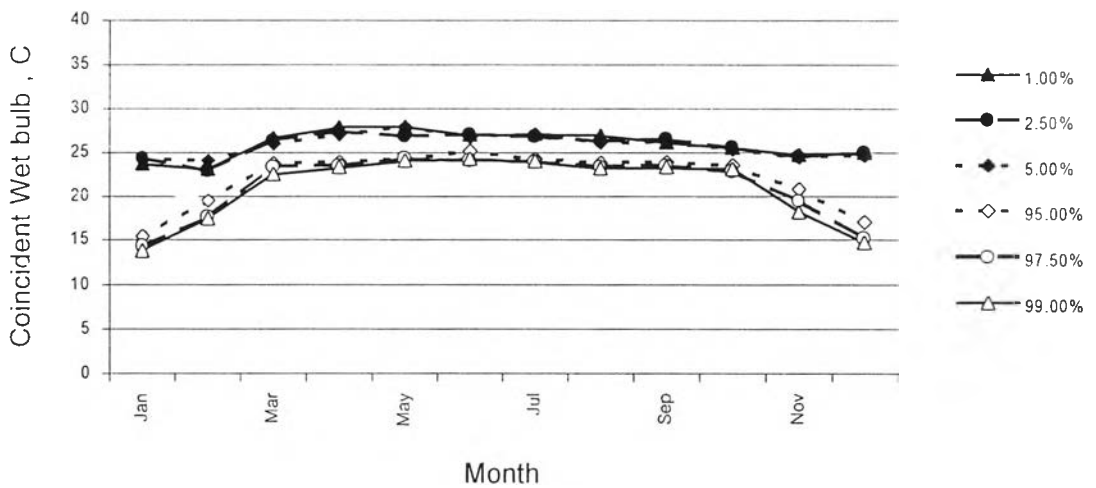
รูป ก.2 อุณหภูมิกระเปาะแห้งในรอบครึ่งเดือนของกรุงเทพมหานคร ตั้งแต่ พ.ศ. 2531 - พ.ศ. 2542<sup>3</sup>

<sup>3</sup> ดุลย์ มณีวัฒนา และ ชัยพร กิจการเจริญสิน. "อุณหภูมิออกแบบสำหรับกรุงเทพมหานคร เชียงใหม่ หาดใหญ่ และ อุบลราชธานี."

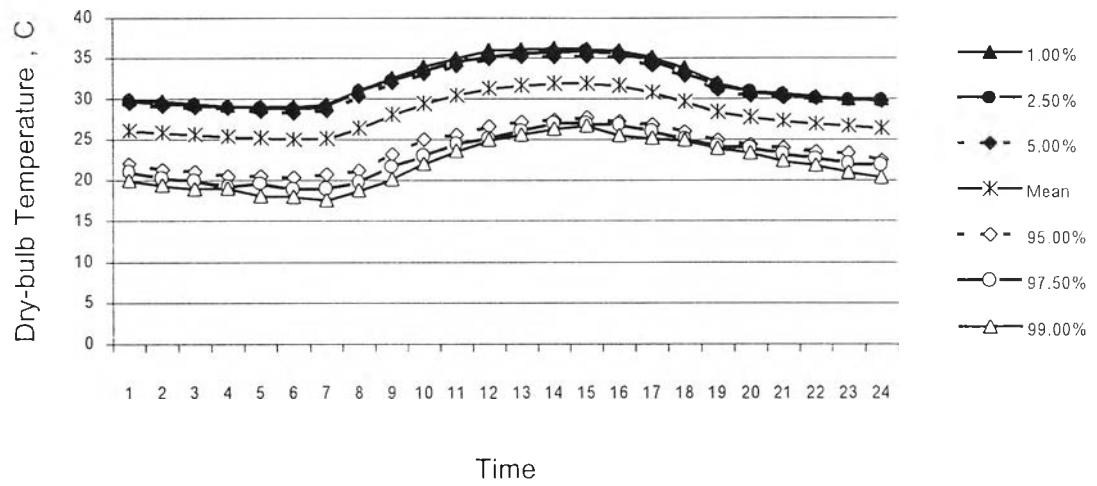
ประชุมวิชาการเครือข่ายเครื่องกลแห่งประเทศไทยครั้งที่ 15 (2544) : RA-46 ถึง RA-50.



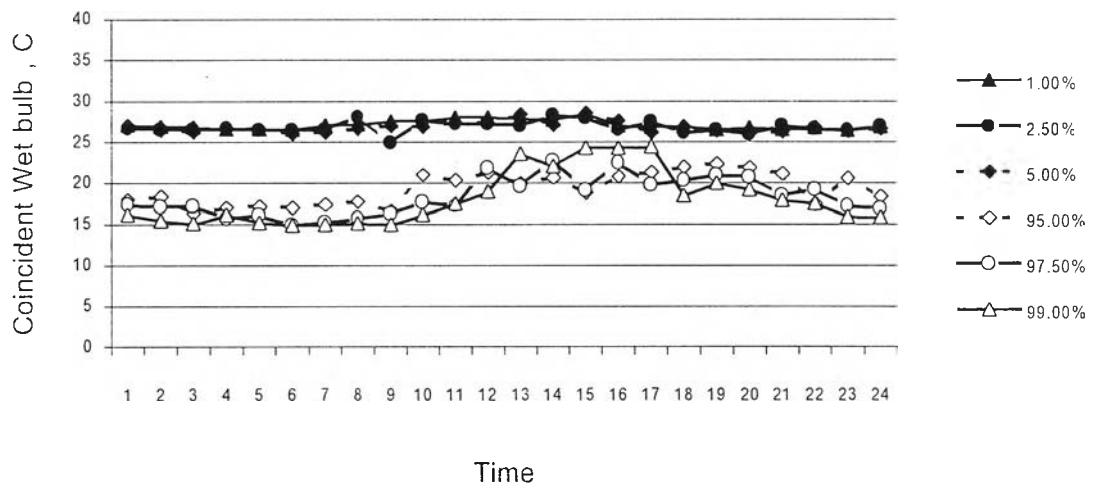
รูป ก.3 อุณหภูมิกระเปาะแห้งของกรุงเทพมหานครในพ.ศ. 2536



รูป ก.4 อุณหภูมิกระเปาะเปียกเฉลี่ยที่สอดคล้องกับอุณหภูมิกระเปาะแห้งของกรุงเทพมหานครในปี พ.ศ. 2536



รูป ก.5 อุณหภูมิกระเปาะแห้งเป็นรายชั่วโมงของกรุงเทพมหานครในปีพ.ศ. 2536



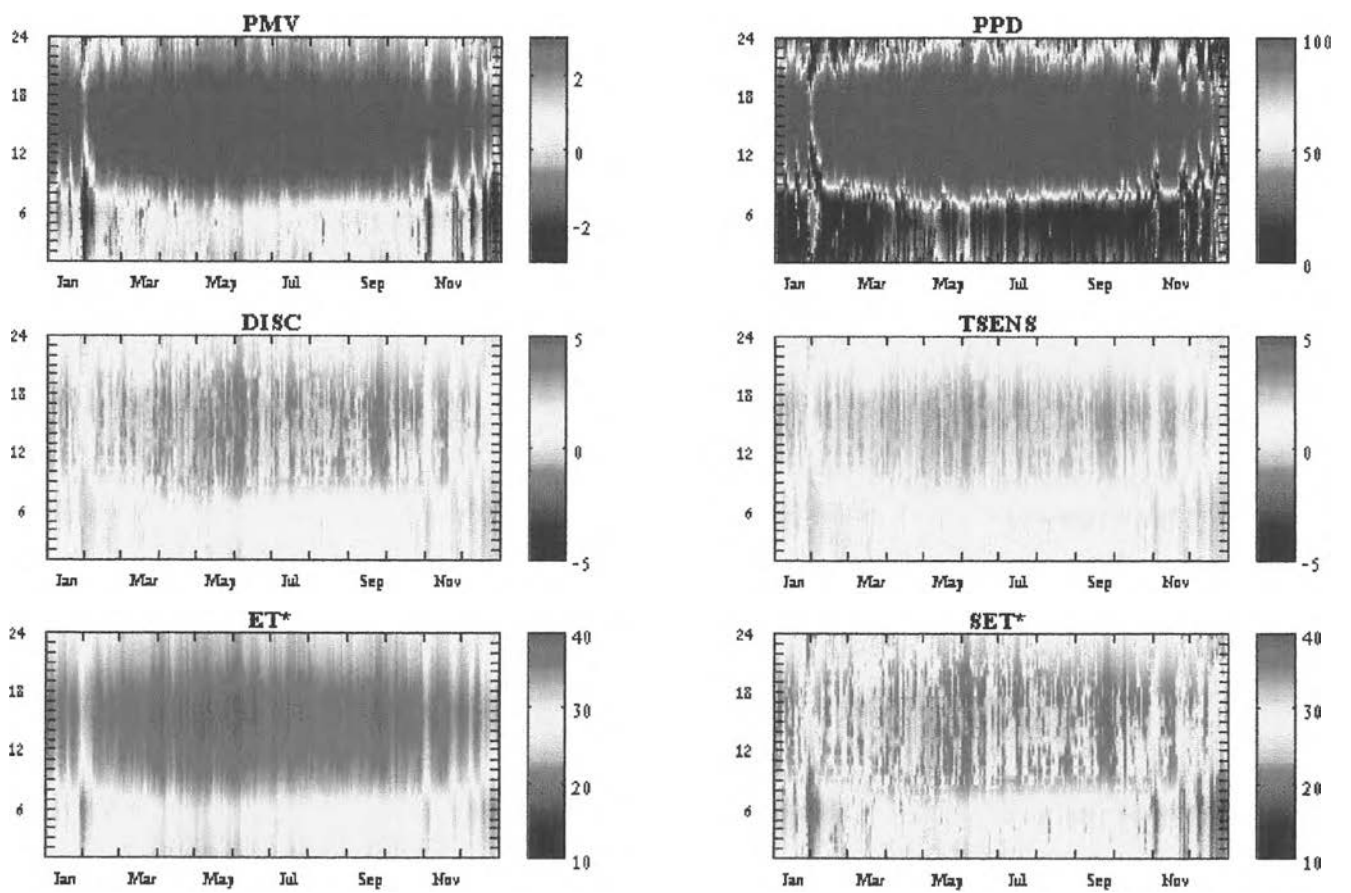
รูป ก.6 อุณหภูมิกระเปาะเปียกเฉลี่ยเป็นรายชั่วโมงที่สอดคล้องกับอุณหภูมิกระเปาะแห้ง  
ของกรุงเทพมหานครในปี พ.ศ. 2536



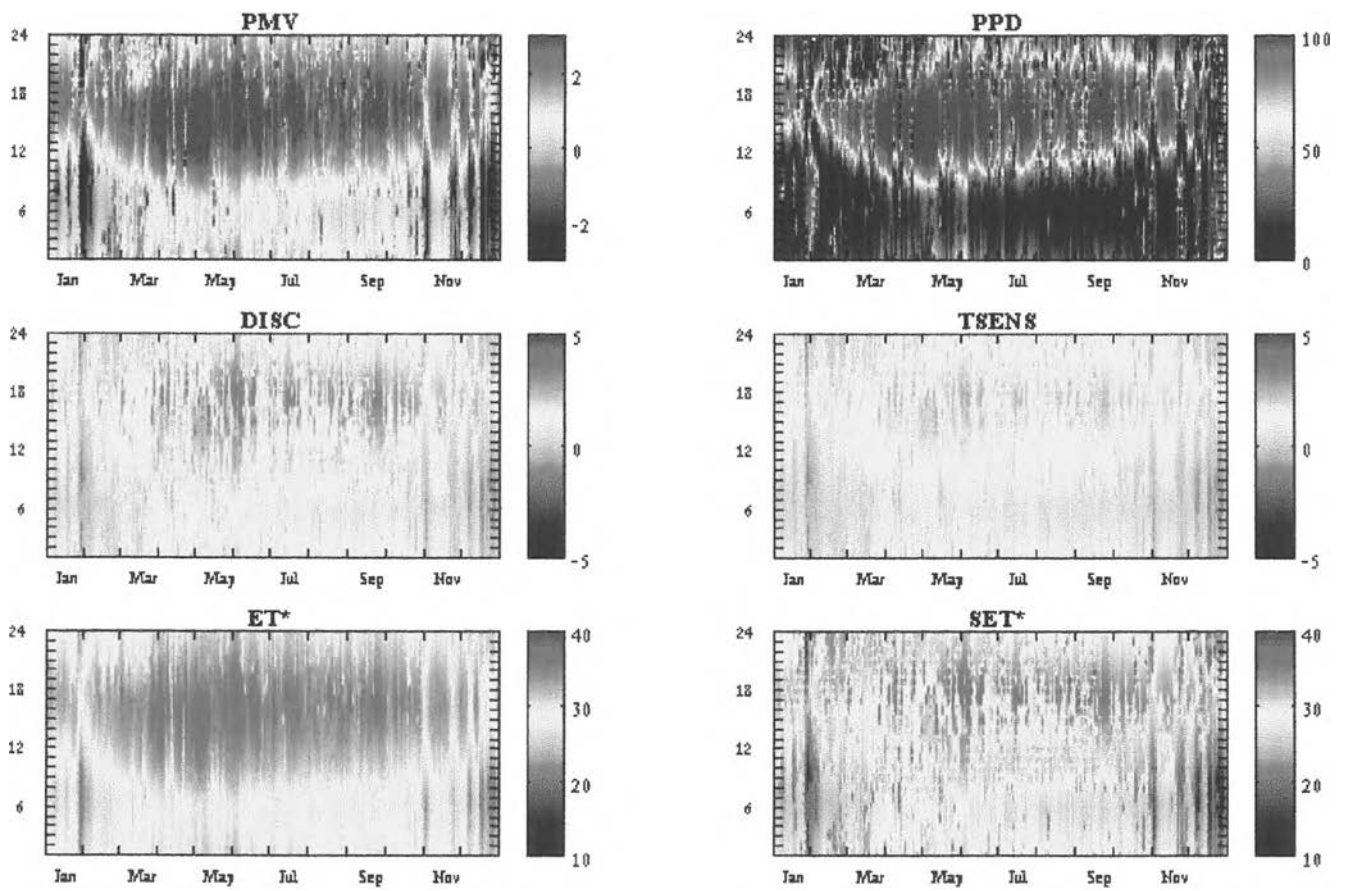
## ภาคผนวก ข.

### ผลการวิเคราะห์ภาวะสบายเชิงความร้อนรายชั่วโมงของบ้านจำลอง

เพื่อเพิ่มเติมรายละเอียดเกี่ยวกับผลการคำนวณภาวะสบายเชิงความร้อนของบ้านจำลองนอกเหนือจากรายละเอียดที่แสดงไว้ในบทที่ 4 ภาวะสบายของบ้านจำลองเฉพาะกรณีพื้นฐานซึ่งไม่มีทั้งกันสาดและช่องเปิด กับ บ้านจำลองที่ติดกันสาด เจาะช่องเปิด และติดฉนวนความร้อนบนฝ้าเพดาน ถูกนำมาแสดงใหม่อีกครั้งในรูปแบบ contour plot ของค่าดัชนีความสบายต่างๆ ในทุกชั่วโมงตลอดระยะเวลา 1 ปี ค่าดัชนีความสบายซึ่งนำมาแสดงผลดังกล่าวได้แก่ PMV PPD ET\* SET\* DISC และ TSENS ดังนั้นหากพิจารณาค่าดัชนีเหล่านี้จากกราฟอย่างละเอียดจะทำให้ทราบได้ถึงภาวะสบายของอาคารที่เปลี่ยนแปลงไปในแต่ละชั่วโมงตลอดทั้งปี



รูป ข.1 ภาวะสบายของบ้านจำลองกรณีพื้นฐานที่ไม่มีกันสาด ช่องเปิด และ อนุวนความร้อน



รูป ข.2 ภาวะสบายในกรณีที่ติดกันสาด เจาะช่องเปิด และ ติดฉนวนความร้อนบนฝ้าเพดาน

## ภาคผนวก ค.

### รายละเอียดของโปรแกรมคอมพิวเตอร์ที่ใช้ในงานวิจัย

ในการวิเคราะห์ความสบายเชิงความร้อนของผู้อยู่อาศัยในแบบจำลองอาคารของงานวิจัยนี้จะใช้โปรแกรมคอมพิวเตอร์ภาษาฟอร์แทรนที่ได้รับการพัฒนาขึ้น โปรแกรมคอมพิวเตอร์ดังกล่าวนี้มีชื่อที่ชื่อว่า TCAP (Thermal Comfort Analysis Program, TCAP) จะใช้ในการคำนวณดัชนีความสบายเชิงความร้อนที่สามารถบ่งบอกถึงความพึงพอใจเชิงความร้อนที่ผู้อยู่อาศัยได้รับ ดัชนีต่างๆ ที่กล่าวมานี้ได้แก่ PMV (Predicted Mean Vote), PPD (Predicted Percentage of Dissatisfied),  $T_o$  (Operative Temperature),  $ET^*$  (Effective Temperature),  $SET^*$  (Standard Effective Temperature), DISC (Thermal Discomfort) และ TSENS (Thermal Sensation) จากการที่ดัชนีแต่ละตัวแสดงถึงลักษณะทางกายภาพที่ต่างกันจึงมีความจำเป็นอย่างยิ่งที่จะต้องพิจารณาทุกดัชนีควบคู่กันไป เพื่อจะได้ผลการวิเคราะห์แม่นยำ

TCAP นำค่าพารามิเตอร์ของแต่ละบุคคลอันได้แก่ อัตราการเผาผลาญพลังงาน (M) งานที่ทำ (W) และความเป็นฉนวนของเสื้อผ้าที่สวมใส่ ( $I_{cl}$ ) มาเป็นข้อมูลป้อนเข้า ส่วนพารามิเตอร์ทางสิ่งแวดล้อมซึ่งประกอบด้วยอุณหภูมิ ( $t_a$ ) อุณหภูมิการแผ่รังสีเฉลี่ย ( $t_{mn}$ ) ความเร็วอากาศ (v) และความชื้นสัมพัทธ์ (Rh) นั้นจะต้องทำการคำนวณโดยตรง ค่า  $t_a$  และ  $t_{mn}$  สามารถทำได้จากการพิจารณาสมดุลความร้อนของทั้งอาคารที่ประกอบด้วยสมดุลความร้อนของผนังภายนอกอาคาร (สมการ 80) การนำความร้อนผ่านผนัง (สมการ 81 และ 82) สมดุลความร้อนของผนังภายในอาคาร (สมการ 83) และสมดุลความร้อนของอากาศภายในโซน (สมการ 60) สมดุลความร้อนที่เกิดขึ้นทั้ง 4 จุดที่กล่าวมานี้จะคำนวณจากข้อมูลอากาศจริงรายชั่วโมงที่ได้รับจากกรมอุตุนิยมวิทยา (2544) และจำเป็นต้องพิจารณาสมดุลความร้อนของทั้ง 24 ชั่วโมงด้วยระบบสมการพร้อมกัน (simultaneous equation) ประเด็นสำคัญในการคำนวณสมดุลความร้อนก็คือการคำนวณการนำความร้อนผ่านผนังซึ่งเป็นตัวเชื่อมโยงสมดุลความร้อนของผนังด้านในและด้านนอกเข้าด้วยกัน ฟังก์ชันการนำความร้อน (conduction transfer function, CTF) ที่ได้รับการศึกษาและพัฒนาโดย Hittle, D.C. (1979) ถูกนำมาคำนวณการนำความร้อนของชั้นผนังโดยประมาณการเปลี่ยนของโครงร่างอุณหภูมิผนังด้วยลูกคลื่นสามเหลี่ยม (triangular pulse) ซึ่งเกิดจากอุณหภูมิของพื้นผิวเมื่อเวลาในอดีต จึงส่งผลให้การคำนวณสมดุลความร้อนในอาคารมีความจำเป็นต้องพิจารณาสมดุลความร้อนของทั้ง 24 ชั่วโมงพร้อมกัน

อย่างไรก็ตามการพิจารณาสมดุลความร้อนในอาคารมีความจำเป็นต้องพิจารณาการพาความร้อนที่เกิดขึ้นกับผนังซึ่งเป็นฟังก์ชันของ  $v$  ที่เป็นหนึ่งในพารามิเตอร์ทางสิ่งแวดล้อมซึ่งยังไม่ทราบค่าอยู่ในขณะนี้ ดังนั้นการคำนวณสมดุลความร้อนของอาคารทั้ง 24 ชั่วโมงนี้มีความจำเป็นต้องกระทำพร้อมๆ กับการวิเคราะห์การไหลของอากาศในอาคารตลอดทั้ง 24 ชั่วโมง (สมการ 85 และ 95)

การวิเคราะห์การไหลของอากาศภายในอาคารจะใช้แบบจำลองเครือข่าย (Network models) ซึ่งใช้กันแพร่หลายในการวิเคราะห์ระบบป้องกันไฟในอาคารสูงมาประยุกต์เข้ากับการคำนวณ แบบจำลองเครือข่ายจะจำลองอาคารด้วยเครือข่ายของจุดต่อ (node) และบริเวณ (space) ซึ่งมีความดันและอุณหภูมิที่แตกต่างกันโดยกำหนดให้หนึ่งห้องประกอบด้วยหนึ่งจุดต่อ สมการของ Bernoulli (สมการ 85) จะใช้ในการทำนายพฤติกรรมของอากาศโดยมีค่าสัมประสิทธิ์การส่งออก ( $c_g$ ) เป็นตัวแก้ไขเพื่อให้ผลการคำนวณมีค่าใกล้เคียงความจริงมากที่สุด ผลการวิเคราะห์การไหลของอากาศจะทำให้ทราบถึงอัตราการไหลของอากาศ ( $q$ ) ที่เข้าหรือออกจากห้องในแต่ละช่องทางการไหลได้ จึงทำให้สามารถประมาณค่า  $v$  ภายในห้องเพื่อใช้ในการคำนวณสมดุลความร้อน และวิเคราะห์ความสบายเชิงความร้อนของผู้ที่อยู่อาศัยภายใน

เมื่อการคำนวณสมดุลความร้อนของอาคารเสร็จสิ้นจะทำให้ทราบค่าของอุณหภูมิผนังด้านนอก ( $T_o$ ) และอุณหภูมิผนังด้านใน ( $T_i$ ) อุณหภูมิอากาศในโซน ( $t_a$ ) รวมถึงความเร็วอากาศในห้อง ( $v$ ) ค่าอุณหภูมิการแผ่รังสีเฉลี่ย ( $t_{mr}$ ) จะเป็นพารามิเตอร์ที่ได้รับการคำนวณถัดมา การคำนวณค่า  $t_{mr}$  ของ TCAP เป็นไปใน 2 แนวทาง คือ การคำนวณจากอุณหภูมิการแผ่รังสีเฉลี่ยของระนาบ ( $t_{pr}$ ) (สมการ 70 และ 71) กับการคำนวณจากค่าอุณหภูมิผนังเฉลี่ยถ่วงน้ำหนักด้วยพื้นที่ (สมการ 74) การคำนวณ  $t_{mr}$  จาก  $t_{pr}$  จะถูกจำกัดเฉพาะห้องที่เป็นรูปสี่เหลี่ยมมุมฉาก แต่ผลการคำนวณที่ได้มีความแม่นยำสูงมาก เนื่องจากการคำนวณจะพิจารณาทั้งตำแหน่งและระยะห่างของผนังเทียบกับบุคคลที่อยู่ภายในห้อง นอกจากนี้การคำนวณยังทำให้ทราบถึงอุณหภูมิการแผ่รังสีที่ไม่สมมาตร (radiant temperature asymmetry) อันเป็นหนึ่งในหลายๆ สาเหตุที่ทำให้เกิดความไม่พึงพอใจเชิงความร้อนเฉพาะแห่ง ส่วนการคำนวณ  $t_{mr}$  จากค่าอุณหภูมิผนังเฉลี่ยถ่วงน้ำหนักด้วยพื้นที่นั้นสามารถใช้กับห้องที่เป็นรูปทรงใดๆ โดยไม่ต้องระบุว่า เป็นสี่เหลี่ยมมุมฉากหรือไม่ หากแต่ว่าการคำนวณ  $t_{mr}$  ในแนวทางนี้จะไม่พิจารณาถึงระยะห่างระหว่างบุคคลกับผนังหรือผนังกับผนัง จึงทำให้ผลการคำนวณไม่แม่นยำเท่าที่ควร

สำหรับ Rh ซึ่งเป็นพารามิเตอร์ทางสิ่งแวดล้อมตัวสุดท้ายที่ยังไม่ได้รับการคำนวณนี้เป็นพารามิเตอร์ที่มีขั้นตอนการคำนวณซึ่งซับซ้อนน้อยที่สุด โดยกำหนดให้สัดส่วนความชื้นของอากาศภายในห้อง ( $w_a$ ) ที่ไม่มีการควบคุมความชื้นมีค่าเท่ากับข้อมูลอากาศ นั่นคือ การกำหนดให้ไม่มีการถ่ายเทมวลของไอน้ำระหว่างโซนควบคุมกับสิ่งแวดล้อม การประมาณเช่นนี้เป็นผลสืบเนื่องจากการคำนวณสมดุลความร้อนซึ่งเป็นหัวใจของกระบวนการคำนวณใน TCAP ที่ไม่มีการพิจารณาถึงการถ่ายเทมวลของไอน้ำในอากาศผ่านผนัง ดังนั้นหากปัญหาที่กำลังพิจารณา มีความจำเป็นต้องให้ความสำคัญกับการถ่ายเทมวลของไอน้ำผ่านผนังเข้ามาสู่โซนควบคุมแล้ว โปรแกรม TCAP ซึ่งไม่ได้พิจารณาถึงปรากฏการณ์เหล่านี้จึงไม่เหมาะต่อการนำมาวิเคราะห์

เมื่อเสร็จสิ้นการวิเคราะห์ค่าพารามิเตอร์ทางสิ่งแวดล้อมของแต่ละส่วนในอาคารแล้ว ดัชนีที่บ่งบอกถึงความสุขสบายเชิงความร้อนถูกนำมาคำนวณร่วมกับค่าพารามิเตอร์ของแต่ละบุคคล การวิเคราะห์ถึงความสุขสบายเชิงความร้อนใน TCAP สามารถระบุระยะเวลาในการคำนวณเป็นรายวัน รายเดือน หรือรายปีได้ ในกรณีที่ต้องการวิเคราะห์ปัญหาเป็นรายเดือนหรือรายปีนั้นผลการคำนวณต่างๆ ของ TCAP ไม่ว่าจะเป็นค่า  $T_i$ ,  $T_o$  และ  $T_a$  ของโซนที่พิจารณา ภาระการทำความเย็นที่แต่ละโซนได้รับ อัตราการไหลของอากาศ ความดันตกคร่อมในแต่ละช่องทางการไหล รวมถึงค่าดัชนีที่บ่งบอกถึงความสุขสบายเชิงความร้อนตลอดเวลา 24 ชั่วโมงจะแสดงอยู่ในรูปค่าเฉลี่ยรวมถึงค่าที่เปอร์เซ็นต์ต่างๆอันได้แก่ ค่าที่ 1.0% 2.5% 5.0% 95.0% 97.5% และ 99.0% นอกจากนี้เพื่อให้ผลการคำนวณง่ายต่อการวิเคราะห์มากขึ้น TCAP จะทำการสรุปค่า PMV และ SET\* ในแต่ละเดือนออกมาด้วย

การคำนวณของ TCAP ทั้งหมดที่กล่าวมาจะกระทำด้วย 1 โปรแกรมหลัก กับ 7 โมดูลย่อยได้แก่โปรแกรม TCAP โมดูล TCAP\_HBcompute โมดูล TCAP\_FlowAnalyse โมดูล TCAP\_ResponseFactor โมดูล TCAP\_SolarCompute โมดูลTCAP\_Library โมดูล TCAP\_MRTtemp และ โมดูล TCAP\_Comfort รายละเอียดของโปรแกรม การทำงานของแต่ละโมดูลรวมถึงแผนภูมิขั้นตอนการคำนวณแสดงได้ต่อไปนี้

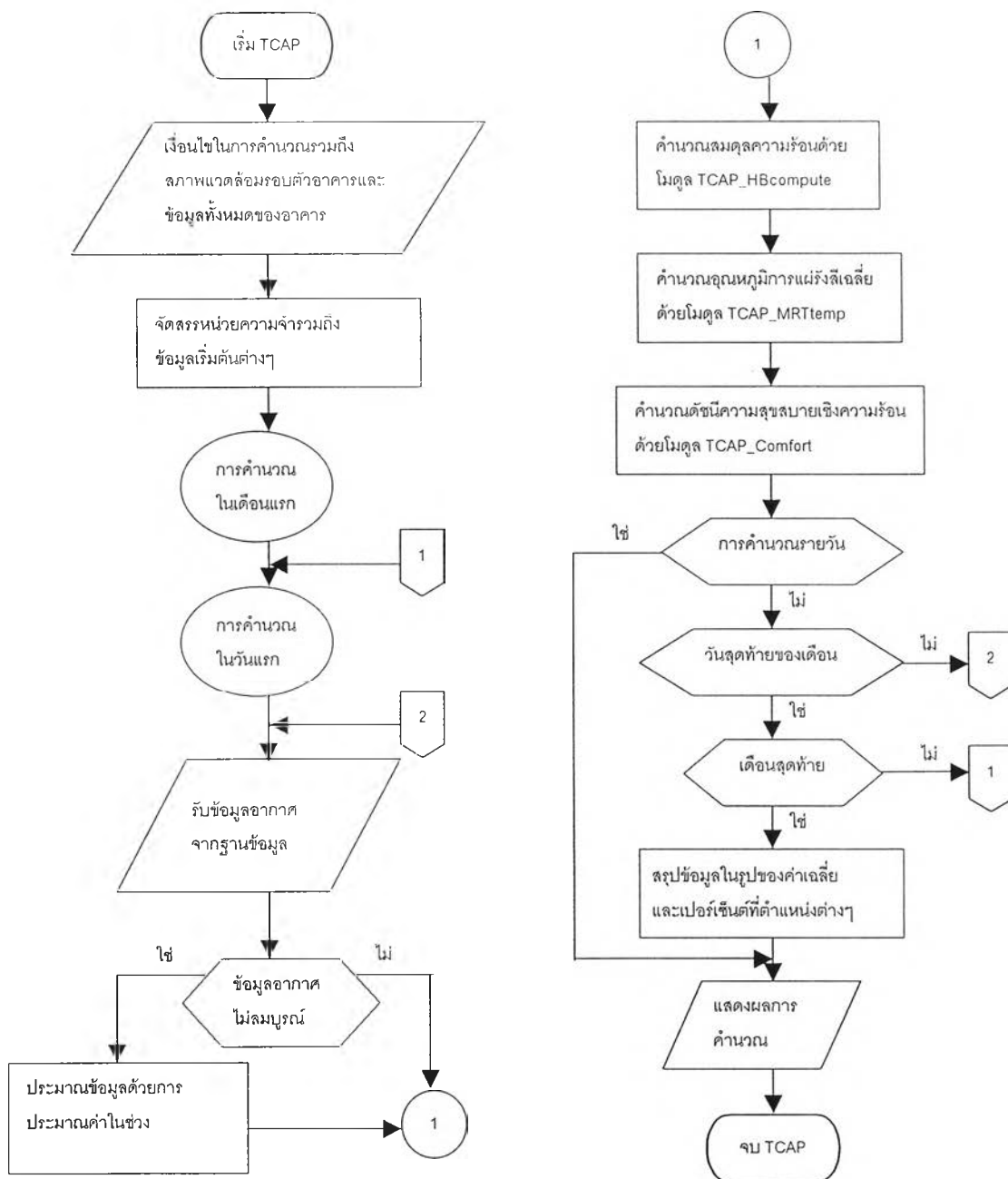


## ค.1 โปรแกรม TCAP

โปรแกรม TCAP เป็นโปรแกรมหลักของ TCAP มีหน้าที่ในการรับข้อมูลที่ป้อนเข้ามาถึงจัดสรรหน่วยความจำให้ตัวแปรแต่ละตัวอย่างเหมาะสมกับแต่ละปัญหาที่ทำการพิจารณาลักษณะดังกล่าวนี้ทำให้ TCAP ไม่มีข้อจำกัดเรื่องจำนวนผนัง จำนวนช่องเปิดรวมถึงจำนวนกระจกในแต่ละโซนโดยสามารถบรรจุเข้าไปในโปรแกรมได้ทราบเท่าที่หน่วยความจำของเครื่องคอมพิวเตอร์ยังคงเหลืออยู่ อย่างไรก็ตาม TCAP สามารถพิจารณาโซนควบคุมได้เพียงหนึ่งหรือสองโซนเท่านั้น โดยอาจเพิ่มการพิจารณาเป็นสามโซนได้ แต่โซนที่สามนี้จะทำการวิเคราะห์เฉพาะอัตราการไหลของอากาศ ( $\dot{m}$ ) เท่านั้น

นอกจาก TCAP จะมีหน้าที่จัดสรรหน่วยความจำให้แก่โมดูลแต่ละหน่วยแล้ว TCAP ยังทำหน้าที่ควบคุมการคำนวณให้เข้าเป็นไปตามที่ผู้ใช้กำหนดไม่ว่าจะเป็นการคำนวณรายวัน รายเดือน หรือ รายปี TCAP ทำการบันทึกผลการคำนวณในแต่ละชั่วโมงไว้และทำการสรุปข้อมูลออกมาในช่วงท้ายของโปรแกรม จากลักษณะที่กล่าวมานี้ทำให้ TCAP มีลักษณะเป็นหน่วยควบคุมที่ทำการเรียกข้อมูลต่างๆตลอดจนทำการปรับแต่งข้อมูลที่ไม่สมบูรณ์ด้วยการประมาณในช่วง (interpolation) ก่อนส่งข้อมูลไปให้แก่โมดูลย่อยที่มีหน้าที่ในการคำนวณเฉพาะทางนั้นทำการวิเคราะห์ เช่น โมดูลที่ใช้ในการคำนวณสมดุลความร้อน โมดูลที่ใช้ในการวิเคราะห์ความสบายเชิงความร้อนรวมถึงโมดูลที่ใช้ในการสรุปผลการคำนวณ

เมื่อการคำนวณสิ้นสุดผลการวิเคราะห์ที่สอดคล้องกับการคำนวณในแต่ละกรณีจะแสดงออกมาในรูปตารางซึ่งทำให้ง่ายต่อการนำโปรแกรมประเภทสเปรดชีท (Spreadsheet) ไปวาดกราฟ หรือทำการวิเคราะห์ในขั้นตอนต่อไป แผนภูมิการทำงานของโปรแกรม TCAP แสดงได้ในรูป ค.1



รูป ค.1 แผนภูมิการทำงานของโปรแกรม TCAP



## ค.2 โมดูล TCAP\_HBcompute

โมดูลTCAP\_HBcompute เป็นโมดูลที่ทำการวิเคราะห์สมดุลความร้อนของทั้งอาคารซึ่งประกอบด้วยสมดุลความร้อนของผนังภายนอกอาคาร (สมการ 80) การนำความร้อนผ่านผนัง (สมการ 81 และ 82) สมดุลความร้อนของผนังด้านในอาคาร (สมการ 83) และสมดุลความร้อนของอากาศภายในโซนควบคุม (สมการ 84) โดยมีความจำเป็นที่ต้องแก้ระบบสมการพร้อมกัน (simultaneous equation) ของทั้งอาคารตลอดเวลา 24 ชั่วโมง การคำนวณสมดุลความร้อนทั้งสี่จุดที่กล่าวมานี้จะกระทำตามวิธีและคำแนะนำของ McClellan, T.M. (1997) Hittle, D.C. (1979, 1983) Liesen, R.J. (1997) และ Pederson, C.O. (1997) ตามลำดับ แต่จากที่กล่าวมาแล้วในตอนต้นว่าการคำนวณสมดุลความร้อนมีความจำเป็นที่ต้องทราบถึงการรั่วซึมของอากาศ อัตราการระบายอากาศรวมถึงความเร็วอากาศที่อยู่ภายในอาคาร จึงทำให้โมดูล TCAP\_HBcompute มีความจำเป็นต้องทำการพิจารณาควบคู่กับโมดูล TCAP\_FlowAnalyse อย่างหลีกเลี่ยงไม่ได้

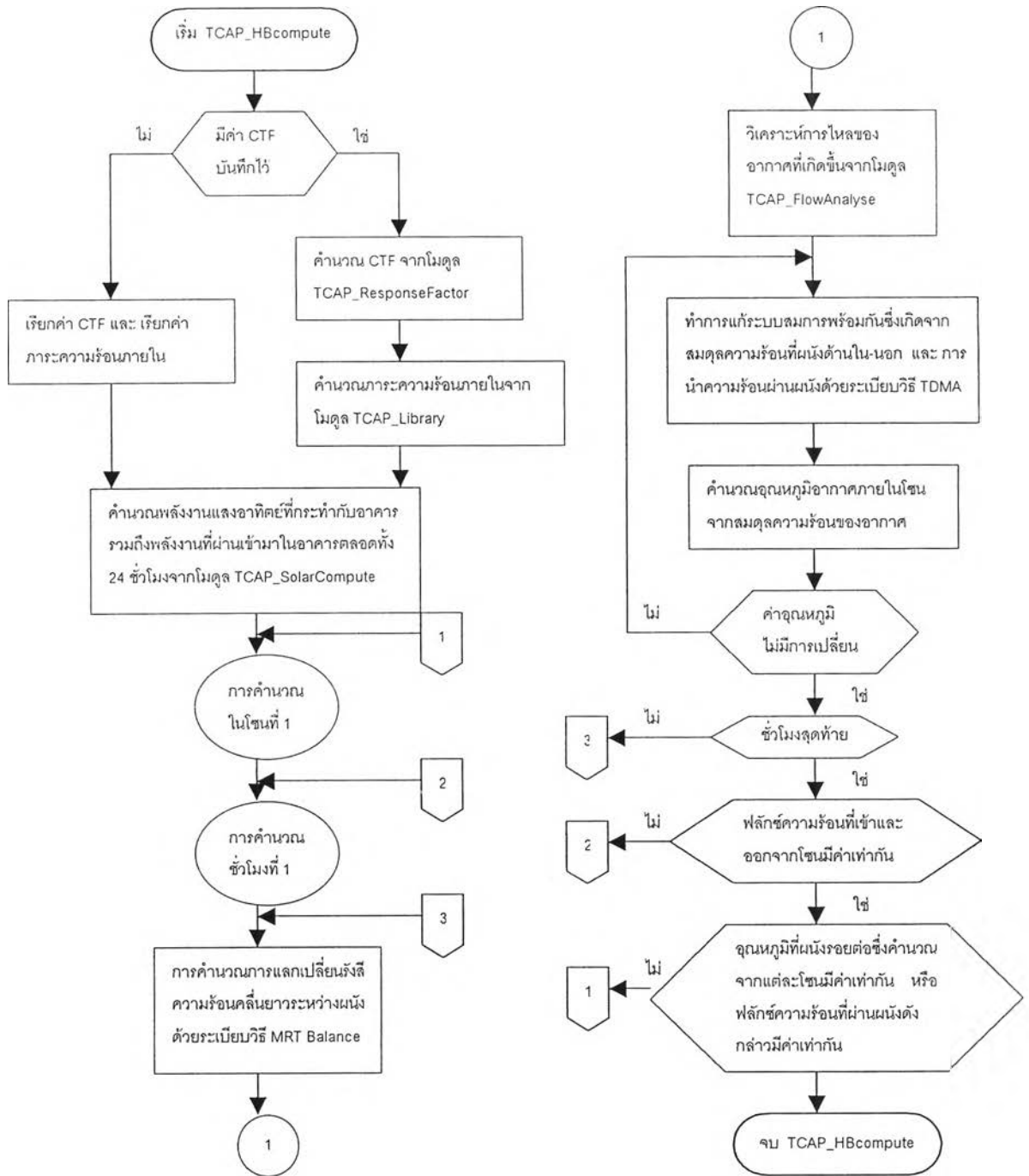
การคำนวณในโมดูล TCAP\_HBcompute เริ่มจากการคำนวณฟังก์ชันการนำความร้อน (conduction transfer function) โมดูล TCAP\_ResponseFactor ซึ่งเป็นโมดูลเฉพาะทางที่ใช้คำนวณการถ่ายเทความร้อนผ่านชั้นผนังนั้นถูกนำมาใช้ให้เกิดประโยชน์ต่อการวิเคราะห์ค่าฟังก์ชันการนำความร้อนของผนังที่คำนวณได้จะถูกบันทึกไว้เพื่อใช้ในการคำนวณครั้งต่อไปซึ่งไม่จำเป็นต้องกลับมาคำนวณซ้ำอีกครั้ง จากนั้นค่าภาระต่างๆที่ส่งผลกระทบต่ออาคารตลอดระยะเวลา 24 ชั่วโมงจะได้รับการคำนวณ ค่าภาระที่กล่าวถึงนี้ได้แก่ ค่าภาระภายใน (internal load) และพลังงานแสงอาทิตย์ซึ่งคำนวณโดยโมดูล TCAP\_Library และ โมดูล TCAP\_SolarCompute ตามลำดับ แบบจำลองของดวงอาทิตย์ซึ่งคำนวณโดยโมดูล TCAP\_SolarCompute และนำมาใช้ในการคำนวณสมดุลความร้อนนั้นจะอ้างอิงจากแบบจำลองของ ASHRAE (2001) ซึ่งเป็นการคำนวณในสภาพที่ห้องฟ้าปลอดโปร่ง หลังจากที่เสร็จสิ้นการคำนวณต่างๆ โมดูล TCAP\_HBcompute จะเข้าสู่การคำนวณในขั้นต่อไปซึ่งถือว่าเป็นหัวใจของการคำนวณสมดุลความร้อน

จากที่กล่าวมาแล้วสรุปได้ว่าหัวใจของการคำนวณสมดุลความร้อนก็คือสมดุลความร้อนทั้ง 4 จุดตลอดเวลา 24 ชั่วโมงซึ่งจำเป็นต้องพิจารณาควบคู่กับอัตราการระบายอากาศที่เกิดขึ้น ณ เวลาที่ทำการพิจารณา ดังนั้นการคำนวณในขั้นตอนต่อมาของโมดูล TCAP\_HBcompute ก็คือการสร้างเมตริกซ์เพื่อคำนวณหา  $T_i$ ,  $T_o$ ,  $T_a$  และ  $\Delta P$  เวลาทั้ง 24 ชั่วโมง

จากวัตถุประสงค์ดังกล่าว ระเบียบวิธี MRT Balance ถูกนำมาใช้เพื่อวิเคราะห์การแลกเปลี่ยนรังสีความร้อนคลื่นยาวระหว่างพื้นผิวภายในโซน ( $q''_{LWx}$ ) ที่พิจารณาโดยตั้งอยู่บนสมมติฐานที่ว่าพื้นผิวแต่ละพื้นผิวทำการแลกเปลี่ยนการแผ่รังสีความร้อนกับพื้นผิวปลอมที่สร้างขึ้นซึ่งมีพื้นที่ ค่าการเปล่งรังสีความร้อน รวมถึงอุณหภูมิเท่ากับค่าเฉลี่ยของพื้นผิวอื่นๆ ภายในโซน สำหรับการวิเคราะห์อัตราการไหลของอากาศ ณ เวลาที่กำลังพิจารณานั้นเป็นหน้าที่ของโมดูล TCAP\_FlowAnalyse ที่ จะดำเนินการแทนทั้งหมดและส่งผลการคำนวณคืนกลับมาเพื่อใช้ในการคำนวณสมดุลความร้อนของผนังด้านในอาคาร จากนั้นโมดูล TCAP\_HBcompute จะแก้ระบบสมการพร้อมกันของสมการ (80) ถึง สมการ (83) โดยไม่พิจารณาสมการ (84) เนื่องจากการพิจารณาเช่นนี้จะทำให้เมตริกซ์ของระบบสมการที่ทำการคำนวณมีลักษณะพิเศษที่เรียกว่าเมตริกซ์แบบสามแถวทแยง (tri-diagonal matrix) ซึ่งสามารถคำนวณได้อย่างสะดวกด้วยระเบียบวิธี TDMA (Tri-Diagonal Metric Algorithm) ค่า  $T_i$  และ  $T_o$  ที่ได้จากการแก้ระบบสมการพร้อมกันจะนำมาคำนวณหาค่า  $T_u$  โดยใช้สมการ (84) กระบวนการทำซ้ำ (iteration) ถูกนำมาใช้ในการคำนวณจนกว่าคำตอบจะสอดคล้องกับสมดุลความร้อนทั้ง 4 แห่ง แต่กระบวนการเช่นนี้มีความจำเป็นต้องทำการวิเคราะห์การไหลของอากาศใหม่ในทุกๆ รอบการทำซ้ำจนกว่าจะเกิดการลู่เข้า หลังจากทำการคำนวณลู่เข้าแล้วกระบวนการทั้งหมดจะถูกดำเนินการซ้ำอีกครั้งจนเสร็จสิ้นการคำนวณตลอดทั้ง 24 ชั่วโมง จากนั้นจะกลับไปเริ่มต้นการคำนวณ ณ ชั่วโมงแรกใหม่จนกว่าคำตอบของทั้ง 24 ชั่วโมงจะมีความสอดคล้อง

การลู่เข้าของกระบวนการทำซ้ำจะเกิดขึ้นเมื่อ  $T_i$ ,  $T_o$  และ  $T_u$  ที่คำนวณได้ในแต่ละรอบการทำซ้ำมีการเปลี่ยนแปลงน้อยมากหรือพลั๊กซ์ความร้อนรวมที่เข้า ( $q''_{ki}$ ) และพลั๊กซ์ความร้อนที่ออก ( $q''_{ko}$ ) จากอาคารมีค่าเท่ากัน แต่เนื่องจากการคำนวณสมดุลความร้อนในอาคารเกี่ยวข้องกับสมดุลความร้อนทั้ง 24 ชั่วโมง ดังนั้นเงื่อนไขการลู่เข้าจะต้องเป็นจริงตลอดทั้ง 24 ชั่วโมง นอกจากนี้หากปัญหาที่ทำการคำนวณมีจำนวนโซนมากกว่าหนึ่งโซนแล้วเงื่อนไขการลู่เข้าจะต้องตรวจสอบว่า  $T_i$ ,  $T_o$ ,  $q''_{ki}$  และ  $q''_{ko}$  ของผนังดังกล่าวซึ่งคำนวณได้จากแต่ละโซนนั้นมีค่าเท่ากัน

เมื่อพิจารณาภาพรวมของโมดูล TCAP\_HBcompute แล้วจะสามารถสรุปได้ว่าโมดูลดังกล่าวเป็นโมดูลที่ควบคุมการคำนวณเกือบทั้งหมดในโปรแกรมซึ่งจะต้องสอดคล้องกับเงื่อนไขในการคำนวณที่ระบุโดยโปรแกรมหลักของ TCAP แผนภูมิการทำงานของโมดูล TCAP\_HBcompute สามารถแสดงได้ในรูป ค.2



รูป ค.2 แผนภูมิการทำงานของโมดูล TCAP\_HBcompute

### ค.3 โมดูล TCAP\_FlowAnalyse

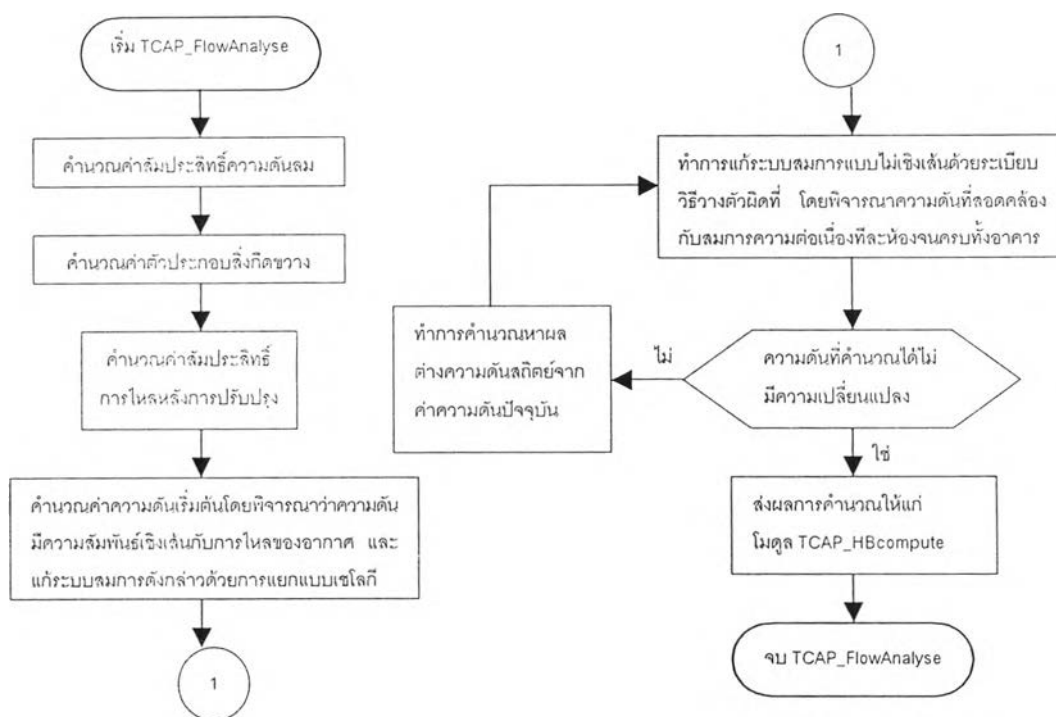
โมดูล TCAP\_FlowAnalyse เป็นโมดูลซึ่งทำหน้าที่ในการวิเคราะห์อัตราการระบายอากาศที่เกิดขึ้นในอาคาร เพื่อประโยชน์ในการคำนวณสมดุลความร้อนรวมถึงการประมาณค่า  $v$  ภายในโซนซึ่งเป็นหนึ่งในพารามิเตอร์ที่มีผลต่อความสบายเชิงความร้อนของผู้อยู่อาศัยภายในอาคาร การคำนวณภายในโมดูลเป็นการประยุกต์เทคนิคที่ใช้ในการออกแบบระบบควบคุมควันทันไฟเพื่อวิเคราะห์การไหลของอากาศที่เกิดขึ้นในอาคาร แบบจำลองเครือข่ายจะถูกนำมาใช้งานเพื่อตอบสนองต่อวัตถุประสงค์ดังกล่าวโดยที่แบบจำลองเครือข่ายจะจำลองอาคารด้วยจุดต่อและบริเวณโดยกำหนดให้ห้องแต่ละห้องซึ่งมีอุณหภูมิและความดันที่แตกต่างกันสามารถแทนด้วยหนึ่งจุด ในแบบจำลองนี้จะพิจารณาว่าการไหลของอากาศซึ่งเกิดขึ้นที่รอยแตกรวมถึงจุดรั่วซึมและช่องเปิดต่างๆ เป็นฟังก์ชันของความดันตกคร่อมของแต่ละช่องทางการไหล ( $\Delta P$ ) โดยอากาศจะไหลจากบริเวณที่มีความดันสูงไปสู่บริเวณที่มีความดันต่ำ แต่จากการที่ความดันในแต่ละห้องของอาคารนั้นขึ้นอยู่กับ  $T_a$  ซึ่งทราบได้จากการคำนวณสมดุลความร้อน จึงจำเป็นต้องคำนวณโมดูล TCAP\_FlowAnalyse ควบคู่กับ โมดูล TCAP\_HBcompute ดังนั้นเมื่อไรก็ตามที่โมดูล TCAP\_HBcompute มีการเปลี่ยนแปลง  $T_a$  อันเกิดจากระบบการทำงานซ้ำ โมดูล TCAP\_FlowAnalyse จำเป็นต้องทำการวิเคราะห์อัตราการไหลของอากาศที่เกิดขึ้นในอาคารทุกครั้ง

การคำนวณในโมดูล TCAP\_FlowAnalyse เริ่มต้นจากการคำนวณหาค่าสัมประสิทธิ์ความดันลม ( $c_w$ ) ที่แต่ละพื้นผิวของอาคาร ลมเป็นปัจจัยสำคัญที่ทำให้เกิดการกระจายความดันบนพื้นผิวนอกอาคารโดยขึ้นอยู่กับทิศทางลม ความเร็วลม ความหนาแน่นอากาศ ทิศทางของพื้นผิว รวมถึงสภาพสิ่งแวดล้อมรอบตัวอาคาร ในกรณีที่อาคารซึ่งกำลังพิจารณามีความสูงไม่มาก สิ่งกีดขวางภายนอกอาคารมีอิทธิพลต่อลมที่พัดเข้าสู่อาคารอย่างยิ่ง โดยทำให้ความดันอันเกิดจากลมมีค่าลดลง นอกจากความดันลมมีค่าน้อยลงแล้วสิ่งกีดขวางต่างๆ ยังทำให้เกิดการหมุนวนของอากาศที่ไม่เพียงแต่ทำให้ความเร็วลมลดลงแล้วแต่ยังทำให้ทิศทางของลมมีการเปลี่ยนแปลงไปอีกด้วย ดังนั้นการนำข้อมูลลมที่ได้จากกรมอุตุนิยมวิทยา (2544) มาใช้ในการวิเคราะห์อาคารที่มีความสูงไม่มากควรกระทำด้วยความระมัดระวัง เพื่อให้การประมาณความเร็วลมที่หน้าอาคารซึ่งมีความสูงไม่มากมีความถูกต้องแม่นยำขึ้น ค่าตัวประกอบสิ่งกีดขวาง (shelter factor,  $s$ ) ซึ่งเป็นฟังก์ชันของทิศทางลมและลักษณะของสิ่งกีดขวางซึ่งอยู่โดยรอบถูกนำมาคำนวณเพื่อลดอิทธิพลของลมที่มีต่ออาคารดังกล่าวลง

เมื่อทราบ  $c_w$  และ  $s$  แล้วจึงทำให้โมดูลสามารถคำนวณการกระจายตัวของความดันที่อยู่รอบอาคารได้อย่างถูกต้อง จากนั้นโมดูล TCAP\_FlowAnalyse จะคำนวณ  $c_{adj}$  ของทุกช่องทางการไหลที่มีอยู่ในอาคาร  $c_{adj}$  นี้ทำให้การคำนวณการไหลของอากาศภายในอาคารซึ่งคำนวณด้วยสมการ (85) มีความสะดวกขึ้นโดยกำหนดให้  $k$  แปรผันตรงกับ  $\sqrt{\Delta P}$  (สมการ 86) เพราะเหตุนี้จึงทำให้  $k$  กับ  $\Delta P$  ในแต่ละจุดต่อคือความสัมพันธ์แบบไม่เชิงเส้นและจำเป็นต้องแก้ระบบสมการแบบไม่เชิงเส้นซึ่งมีความซับซ้อนจึงจะทราบถึงค่าความดันของแต่ละห้องในอาคารได้ โมดูล TCAP\_FlowAnalyse ทำการแก้ระบบสมการดังกล่าวโดยใช้ระเบียบวิธีการวางตัวผิดพลาด (False-position method) คำนวณค่าความดันในอาคารที่ละห้องจนกว่าความดันที่คำนวณได้จะสอดคล้องกับสมการความต่อเนื่อง (สมการ 95) การคำนวณดังกล่าวทำการพิจารณาว่าความดันในห้องอื่นๆ ที่เชื่อมต่อกับห้องที่กำลังพิจารณานั้นมีค่าคงที่ การคำนวณค่าความดันในแต่ละห้องนี้จะดำเนินการไปจนครบทุกห้องและจะทำการคำนวณซ้ำไปเรื่อยๆ จนกว่าความดันในแต่ละห้องซึ่งคำนวณได้ในแต่ละรอบการทำซ้ำนั้นจะไม่มีเปลี่ยนแปลง

เพื่อให้การแก้ระบบสมการไม่เชิงเส้นดังกล่าวมีความรวดเร็วขึ้น ค่าความดันตั้งต้นที่ใช้ในการคำนวณควรมีค่าใกล้เคียงกับคำตอบของระบบสมการแบบไม่เชิงเส้นให้มากที่สุดเท่าที่จะเป็นไปได้ ดังนั้นก่อนทำการแก้ระบบสมการแบบไม่เชิงเส้นด้วยระเบียบวิธีวางตัวผิดพลาดที่นั่นจะพิจารณาว่า  $k$  ระหว่างจุดต่อต่างๆ ในอาคารมีความสัมพันธ์แบบเชิงเส้นกับ  $\Delta P$  การพิจารณาดังกล่าวนี้ทำให้เมตริกซ์ของระบบสมการเชิงเส้นที่ได้มีความสมมาตรและสามารถนำมาหาคำตอบได้อย่างรวดเร็วด้วยระเบียบวิธีการแยกแบบไชลเอสกี (Cholesky decomposition method) การนำค่าความดันตั้งต้นที่คำนวณได้ไปใช้เป็นการเริ่มต้นในการคำนวณด้วยระเบียบวิธีวางตัวผิดพลาดที่นั่นทำให้การคำนวณดังกล่าวมีความรวดเร็วขึ้น

เมื่อทราบความดันของจุดต่อแต่ละจุดในอาคารแล้วจะทำให้ทราบถึงอัตราการไหลของอากาศที่ผ่านแต่ละช่องทางการไหลโดยปริยาย การทราบค่าที่แน่นอนของอัตราการไหลที่ผ่านเข้าออกโซนควบคุมทำให้การคำนวณสมดุลความร้อนที่กระทำโดยโมดูล TCAP\_HBcompute มีความถูกต้องมากยิ่งขึ้นอันนำไปสู่การวิเคราะห์ความสบายเชิงความร้อนของผู้อยู่อาศัยในอาคารได้อย่างแม่นยำ การคำนวณทั้งหมดของโมดูลสามารถแสดงได้ในรูป ค.3



รูป ค.3 แผนภูมิการทำงานของโมดูล TCAP\_FlowAnalyse

#### ค.4 โมดูล TCAP\_ResponseFactor

โมดูล TCAP\_ResponseFactor เป็นโมดูลที่สนับสนุนโมดูล TCAP\_HBcompute โดยคำนวณค่าฟังก์ชันการนำความร้อนซึ่งเป็นกุญแจสำคัญในการเชื่อมโยงระหว่างสมดุลความร้อนของผนังด้านนอกกับสมดุลความร้อนของผนังด้านในผ่านกระบวนการนำความร้อนด้วยระเบียบวิธีตัวประกอบคำตอบสนอง (response factors methods) ระเบียบวิธีดังกล่าวนี้จะประมาณการเปลี่ยนแปลงของอุณหภูมิบนพื้นผิวด้วย pulse รูปสามเหลี่ยมหลายๆรูปที่วางเหลื่อมกันอยู่ จากการซ้อนกันของ pulse จึงทำให้เกิดเป็นโครงร่างของอุณหภูมิ (temperature profile) ขึ้นซึ่งสามารถคำนวณได้ด้วยการประมาณแบบสี่เหลี่ยมคางหมู (trapezoidal approximation)

สำหรับการคำนวณโดยทั่วไปนั้น อันดับ (Order) ของค่าฟังก์ชันการนำความร้อนสำหรับผนัง หลังคา และพื้นที่ใช้กันอยู่ทั่วไปมักจะมีค่าไม่เกิน 5 อันดับ การคำนวณจะเกี่ยวข้องโดยตรงกับจำนวนพจน์ของอุณหภูมิพื้นผิวในอดีตที่ใช้หาค่าอุณหภูมิพื้นผิวในปัจจุบัน รายละเอียดที่สมบูรณ์ของระเบียบวิธีนี้สามารถศึกษาได้จากวิทยานิพนธ์ระดับปริญญาเอก Hittle, D.C. (1979)

เนื่องจากระเบียบวิธีตัวประกอบการตอบสนองนำค่าอุณหภูมิพื้นผิวในอดีตมาหาค่าอุณหภูมิพื้นผิวในปัจจุบัน ดังนั้นจึงต้องแก้ระบบสมการพร้อมกันเพื่อทราบถึงกระบวนการนำความร้อนผ่านชั้นผนังของเปลือกอาคาร นอกจากนี้ยังต้องเสียหน่วยความจำของคอมพิวเตอร์และเวลาในการคำนวณเป็นอย่างมาก ถ้าหากจำนวนพจน์ของค่าอุณหภูมิพื้นผิวที่ใช้เพิ่มมากขึ้น โมดูล TCAP\_ResponseFactor จะจำกัดพจน์ของการคำนวณไว้ที่ 24 ค่าซึ่งแสดงถึงค่าอุณหภูมิของวันที่ผ่านมา ถ้ามีความจำเป็นต้องใช้จำนวนพจน์มากกว่านี้ TCAP\_ResponseFactor จะเพิ่มอันดับในการคำนวณโดยอัตโนมัติจึงทำให้พจน์ถูกใช้ในการคำนวณมีจำนวนน้อยลง อันดับในการคำนวณของโมดูลสามารถเพิ่มได้ถึงอันดับที่ 5

#### ค.5 โมดูล TCAP\_SolarCompute

โมดูล TCAP\_SolarCompute ทำหน้าที่ในการคำนวณทุกกระบวนการที่เกี่ยวข้องกับพลังงานแสงอาทิตย์ไม่ว่าจะเป็นตำแหน่งของดวงอาทิตย์ พลังงานแสงอาทิตย์แบบตรง พลังงานแสงอาทิตย์แบบกระจาย การแผ่รังสีความร้อนจากท้องฟ้า การแผ่รังสีความร้อนจากดิน พลังงานแสงอาทิตย์ที่ดูดซับหรือทะลุผ่านกระจก รวมถึงเงาที่เกิดจากหลังคาและกันสาด แบบจำลองสำคัญที่ใช้ในการคำนวณภายในโมดูลจะอ้างอิงจาก ASHRAE (2001) ซึ่งกำหนดให้ท้องฟ้ามีความปลอดโปร่งตลอดทั้งปี ความเหมาะสมของการใช้แบบจำลองนี้ได้ถูกอภิปรายไว้ในงานวิจัยของ McClellan, T.M. (1997) และ Pederson, C.O. (1997) นอกจากนี้ในงานวิจัยยังแสดงให้เห็นว่าค่าการสะท้อนรังสีจากดวงอาทิตย์ของพื้นดินซึ่งมีค่าอยู่ระหว่าง 0.09 ถึง 0.34 สามารถทำให้ค่าภาระการทำความเย็นเปลี่ยนแปลงได้ตั้งแต่ 3% ถึง 6% ขึ้นอยู่กับแต่ละกรณี โมดูล TCAP\_SolarCompute ตระหนักถึงปรากฏการณ์ดังกล่าวจึงคำนวณโดยใช้ค่าการสะท้อนรังสีอาทิตย์จากพื้นดินที่เปลี่ยนแปลงไปตามพื้นผิวแต่ละประเภทและมุมที่แสงตกกระทบในแต่ละองศาซึ่งได้มาจากการประมาณค่าในช่วงของข้อมูลที่นำเสนอไว้ใน ASHRAE (2001)

พลังงานจากดวงอาทิตย์ไม่เพียงแต่ส่งผลกระทบต่อผนังภายนอกเท่านั้นแต่ยังส่งผลกระทบต่อผนังภายในด้วย รังสีความร้อนคลื่นสั้นในรูปของแสงอาทิตย์ที่ผ่านทะลุระบบหน้าต่างเข้า ( $q''_{sol}$ ) มาเป็นสาเหตุสำคัญของภาระการทำความเย็นที่เพิ่มขึ้น การทำนายปรากฏการณ์ดังกล่าวจะกระทำตามสมมุติฐานของ Liesen, R.J. (1997) ซึ่งทำการเฉลี่ยรังสีคลื่นสั้น ( $q''_{sw}$ ) ของดวงอาทิตย์ หลอดไฟ รวมถึงรังสีสะท้อนจากที่ต่างๆ ให้แก่ทุกพื้นผิวในห้อง ส่วน  $q''_{sol}$  จะทำการฉายลงสู่พื้นทั้งหมด

ระบบหน้าต่างที่โมดูล TCAP\_SolarCompute สามารถคำนวณได้จะมีเพียง DSA glass (Double-Strength Sheet Glass) ซึ่งเป็นกระจกมาตรฐานของ ASHRAE ที่มีค่าการทะลุของแสง ค่าการดูดซับแสง ค่าการสะท้อนของแสงเท่ากับ 0.86 0.08 และ 0.06 ตามลำดับ อย่างไรก็ตามคุณลักษณะของ DSA glass ที่มีต่อดวงอาทิตย์สามารถเปลี่ยนแปลงให้เทียบเท่ากับระบบหน้าต่างชนิดอื่นได้โดยการนำค่าสัมประสิทธิ์การบังเงา (shading coefficient) มาใช้ ค่าสัมประสิทธิ์การบังเงาหมายถึงสัดส่วนระหว่างพลังงานความร้อนจากดวงอาทิตย์ที่ผ่านระบบกระจกซึ่งกำลังพิจารณาภายใต้สภาวะที่กำหนดต่อพลังงานความร้อนที่ผ่านกระจกมาตรฐานภายใต้สภาวะเดียวกัน จากการนำค่าสัมประสิทธิ์การบังเงามาใช้จะทำให้โมดูล TCAP\_SolarCompute มีความยืดหยุ่นอย่างสูงต่อการวิเคราะห์กระจกในรูปแบบต่างๆ

หน้าที่สำคัญอีกประการของโมดูล TCAP\_SolarCompute ก็คือการวิเคราะห์พื้นที่การบังเงาที่เกิดขึ้นจากหลังคาและกันสาดของระบบหน้าต่างโดยทำการพิจารณาว่าการบังเงาที่เกิดจากส่วนต่างๆ นั้นสามารถป้องกันได้เฉพาะรังสีความร้อนแบบตรงจากดวงอาทิตย์

ลักษณะทั้งหมดที่กล่าวมานี้ทำให้โมดูล TCAP\_SolarCompute สามารถวิเคราะห์ผลกระทบจากรังสีความร้อนของดวงอาทิตย์ได้อย่างสมบูรณ์แบบและเป็นกลไกสำคัญที่ทำให้โปรแกรม TCAP วิเคราะห์ปัญหาได้อย่างถูกต้อง

## ค.6 โมดูล TCAP\_Library

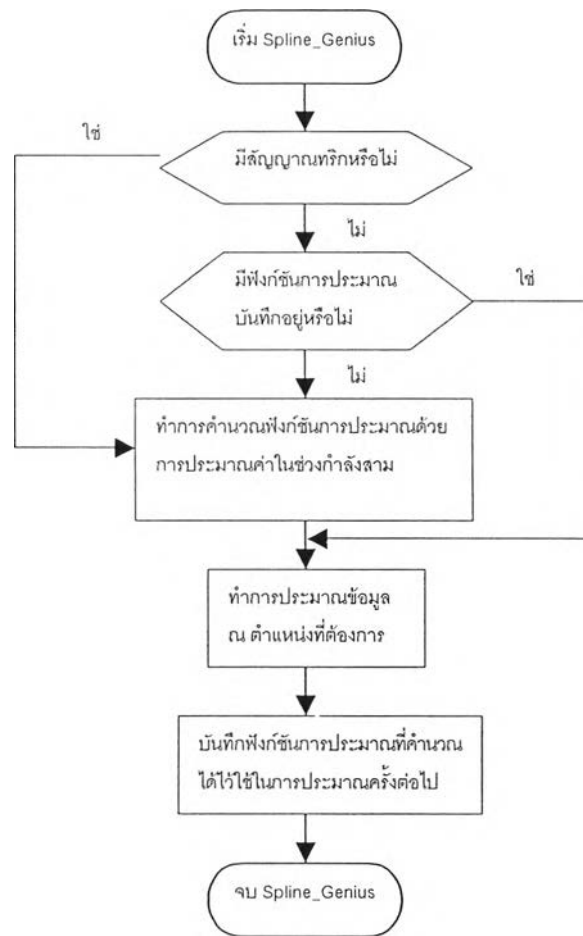
โมดูล TCAP\_Library มีหน้าที่สนับสนุนการทำงานของทุกโมดูลในโปรแกรม TCAP โดยบรรจุแบบจำลองของการคำนวณค่าต่างๆ รวมถึงโปรแกรมย่อยเพื่อใช้ในการวิเคราะห์ปัญหาเชิงเลขเอาไว้ อาทิเช่น แบบจำลองที่ใช้คำนวณค่าสัมประสิทธิ์การพาความร้อน ( $h_c$ ) แบบจำลองที่ใช้ในการคำนวณค่าการระเหยใน แบบจำลองที่ใช้ในการคำนวณค่าสัมประสิทธิ์การแผ่รังสีความร้อน ( $h_r$ ) แบบจำลองของอุณหภูมิห้องฟ้า โปรแกรมย่อยที่ใช้แก้ระบบสมการที่เมตริกซ์มีลักษณะสามแถวทแยง โปรแกรมย่อยที่ใช้แก้ระบบสมการที่เมตริกซ์มีลักษณะสมมาตร โปรแกรมย่อยที่ใช้ในการประมาณค่าในช่วง และโปรแกรมย่อยที่ใช้ในการเรียงลำดับข้อมูล เป็นต้น

หนึ่งในโปรแกรมย่อยที่มีความสำคัญที่สุดของโมดูลก็คือโปรแกรมย่อยซึ่งใช้ในการประมาณค่าในช่วง จากการที่ TCAP มีความจำเป็นต้องนำผลการทดลองที่ได้จากงานวิจัยต่างๆ มาใช้ในการคำนวณโดยเก็บอยู่ในฐานข้อมูลซึ่งอาจจะเปลี่ยนแปลงได้เมื่อมีงานวิจัยใหม่เกิดขึ้นในอนาคต ดังนั้นจึงไม่เหมาะสมอย่างยิ่งที่จะนำสมการหรือความสัมพันธ์ใดๆ ซึ่งแสดงถึง



ฐานข้อมูลดังกล่าวมาบรรจุไว้ในโปรแกรมเพราะนอกจากโปรแกรมแก้ไขได้ยากเมื่อมีการเปลี่ยนแปลงเกิดขึ้นกับฐานข้อมูลแล้วนักวิจัยคนอื่นๆ ที่จะนำโปรแกรมมาใช้อาจไม่มั่นใจในความถูกต้องของสมการหรือความสัมพันธ์นั้นๆ ได้ โครงสร้างโปรแกรมที่ดีควรมีการออกแบบให้โปรแกรมสามารถจัดการฐานข้อมูลได้ด้วยตนเองและศักยภาพเพียงพอที่จะบันทึกฟังก์ชันการประมาณของฐานข้อมูลที่เคยวิเคราะห์ไปแล้วเพื่อสามารถการนำมาใช้ใหม่โดยไม่จำเป็นต้องนำเข้าอีก นอกจากนี้ฟังก์ชันการประมาณที่บันทึกไว้ในหน่วยความจำสามารถคำนวณซ้ำใหม่ได้เมื่อเกิดการเปลี่ยนแปลงที่ฐานข้อมูลหรือเมื่อไรก็ตามที่โปรแกรมต้องการคำนวณใหม่ โปรแกรมย่อยที่มีคุณสมบัติตามที่กล่าวมานี้ได้รับการบรรจุอยู่ใน TCAP\_Library โดยมีชื่อว่า Spline\_Genius

Spline\_Genius เป็นโปรแกรมย่อยอรรถประโยชน์ซึ่งทำหน้าที่สนับสนุนกระบวนการประมาณค่าในช่วงของทุกโมดูล ฐานข้อมูลในแต่ละโมดูลจะมีหมายเลขรหัสกำกับไว้เพื่อบอกให้โปรแกรมทราบว่าฐานข้อมูลดังกล่าวหมายถึงอะไรและใช้ในกระบวนการใด Spline\_Genius ใช้หมายเลขรหัสดังกล่าวในการตรวจสอบถึงการคำนวณที่เกิดขึ้นกับฐานข้อมูลนั้นๆว่ามีข้อมูลของฟังก์ชันการประมาณบันทึกอยู่หรือไม่ ถ้ามีข้อมูลของฟังก์ชันการประมาณบันทึกอยู่ก็จะนำข้อมูลดังกล่าวมาใช้ทันที แต่ถ้าไม่มีการบันทึกแล้วการประมาณค่าในช่วงกำลังสาม (cubic spline interpolation) ถูกนำมาประมาณข้อมูล ณ ตำแหน่งที่ต้องการและจะบันทึกผลการคำนวณไว้ในหน่วยความจำเพื่อประโยชน์ต่อการวิเคราะห์ในครั้งต่อไป ในกรณีที่โมดูลมีการปรับปรุงฐานข้อมูลระหว่างการดำเนินงาน โมดูลเหล่านี้จะส่งสัญญาณทริกไปที่ Spline\_Genius เพื่อลบข้อมูลที่บันทึกไว้และคำนวณฟังก์ชันการประมาณขึ้นใหม่ด้วยวิธีการเดิม ขั้นตอนการวิเคราะห์ของโปรแกรมย่อย Spline\_Genius แสดงได้รูป ค.4



รูป ค.4 แผนภูมิการทำงานของโปรแกรมย่อย Spline\_Genius

#### ค.7 โมดูล TCAP\_MRTtemp

โมดูล TCAP\_MRTtemp มีหน้าที่ในการคำนวณค่า  $t_{mrt}$  โดยใช้สมการ (69) ถึง (74) จึงทำให้การวิเคราะห์ปัญหาของโมดูลนี้ถูกจำกัดอยู่เฉพาะห้องนี้รูปทรงสี่เหลี่ยมมุมฉาก อย่างไรก็ตามการนำอุณหภูมิการแผ่รังสีของระนาบมาใช้ในการวิเคราะห์ทำให้ทราบถึงอุณหภูมิการแผ่รังสีที่ไม่สมมาตรอันเป็นสาเหตุของความไม่สบายเฉพาะแห่งที่เกิดขึ้นแม้ว่าสภาพแวดล้อมจะอยู่ในช่วงที่ทำให้เกิดความสุขสบายเชิงความร้อนแล้วก็ตาม

ข้อมูลตั้งต้นซึ่งจำเป็นต้องส่งให้โมดูลทำการวิเคราะห์นี้ได้แก่  $T_r$  ของผนังภายในห้องทั้ง 6 ทิศทาง ขนาดของห้องที่ทำกรวิเคราะห์ รวมทั้งตำแหน่งของบุคคลที่อยู่ภายในห้องโดยต้องระบุด้วยว่าบุคคลคนนั้นกำลังนั่งหรือยืน ขนาดของห้องและตำแหน่งของบุคคลที่ระบุให้แก่โมดูลนี้ถูกใช้ในการคำนวณค่าตัวประกอบเชิงมุมซึ่งเป็นตัวแปรสำคัญในการคำนวณค่า  $t_{pr}$  ตามสมการ (72) และ (73) ค่า  $t_{pr}$  หมายถึงอุณหภูมิสมำเสมอของพื้นผิวปิดที่มีฟลักซ์การแผ่รังสีตก

กระทบบนเอลิเมนต์ย่อยตามทิศทางที่ระบุเท่ากับปริมาณการแผ่รังสีที่ได้จากสิ่งแวดล้อมจริง ค่า  $t_{pr}$  จะคำนวณจากค่าเฉลี่ยถ่วงน้ำหนักระหว่างอุณหภูมิพื้นผิวกับตัวประกอบเชิงมุมของห้าทิศทางที่เหลือซึ่งปิดล้อมเอลิเมนต์นั้นอยู่ (สมการ 69) เมื่อคำนวณค่า  $t_{pr}$  ใน 6 ทิศทางเรียบร้อยแล้ว  $t_{mt}$  ที่กระทำต่อผู้อยู่อาศัยภายในอาคารสามารถคำนวณได้จากค่าเฉลี่ยถ่วงน้ำหนักระหว่างอุณหภูมิการแผ่รังสีเฉลี่ยของระนาบทั้ง 6 ทิศทางกับพื้นที่ผิวของกริดรูปสี่เหลี่ยมมุมฉากที่แสดงถึงบุคคลซึ่งมีรูปร่างต่างกันไปในแต่ละกิจกรรม (สมการ 70 และ 71) ส่วนค่าอุณหภูมิการแผ่รังสีเฉลี่ยที่ไม่สมมาตรนั้นคำนวณได้โดยตรงจากความแตกต่างของอุณหภูมิการแผ่รังสีเฉลี่ยของระนาบใน 3 แกนอ้างอิงตามระบบพิกัดแบบสี่เหลี่ยมมุมฉาก

ASHRAE Standard 55-a (ASHRAE 1992/1995), Thermal Environmental Conditions for Human Occupancy เป็นมาตรฐานที่ใช้ตรวจสอบว่าอุณหภูมิการแผ่รังสีที่ไม่สมมาตรซึ่งคำนวณจากโมดูลทำให้คนเกิดความไม่สบายเฉพาะแห่งหรือไม่ ASHRAE (1995) ระบุว่าคนรับรู้ถึงความร้อนจากเพดานที่ร้อนได้ไวกว่าความร้อนและความเย็นจากระนาบตั้งฉากซึ่งอยู่ตรงข้ามกัน ดังนั้นจึงกำหนดขอบเขตของอุณหภูมิการแผ่รังสีที่ไม่สมมาตรในทิศทางที่ตั้งฉากไม่ให้มีค่าเกิน  $5^{\circ}\text{C}$  และ  $10^{\circ}\text{C}$  ในทิศทางระดับ นอกจากนี้มาตรฐานดังกล่าวยังกล่าวถึงรายละเอียดของสภาพแวดล้อมที่ทำให้เกิดความสบายและไม่สบายซึ่งจะเป็นประโยชน์อย่างมากต่อการวิเคราะห์ผลการคำนวณของโปรแกรม TCAP

หลังจากที่โมดูล TCAP\_MRTtemp ทำการวิเคราะห์เสร็จสิ้น ค่าอุณหภูมิการแผ่รังสีเฉลี่ยที่คำนวณได้จะส่งต่อไปให้โมดูล TCAP\_Comfort คำนวณค่าดัชนีที่บ่งบอกถึงความสบายของผู้อยู่อาศัยในขั้นตอนต่อไป

#### ค.8 โมดูล TCAP\_Comfort

โมดูล TCAP\_Comfort เป็นโมดูลที่ใช้วิเคราะห์ความสบายเชิงความร้อนของผู้อยู่อาศัยภายในโดยคำนวณค่าดัชนีที่บ่งบอกถึงความสบายเชิงความร้อนทุกตัวที่เกี่ยวข้องไม่ว่าจะเป็นค่า PMV PPD  $T_o$  ET\* SET\* DISC และ TSENS จึงกล่าวได้ว่าโมดูลนี้เป็นหัวใจของกระบวนการวิเคราะห์ความสบายเชิงความร้อนในโปรแกรม TCAP โมดูล TCAP\_Comfort จะรับค่าพารามิเตอร์ของแต่ละบุคคลจากข้อมูลที่ป้อนเข้าตั้งแต่เริ่มการคำนวณและรับค่าพารามิเตอร์ทางสิ่งแวดล้อมจากโมดูลต่างๆ ดังนี้  $T_a$  จากโมดูล TCAP\_HBcompute v จากโมดูล TCAP\_FlowAnalyse และ  $T_{mt}$  จากโมดูล TCAP\_MRTtemp ส่วน Rh คำนวณจากสมมติฐานที่ว่า

ไม่มีการถ่ายเทมวลของไอน้ำระหว่างโซนควบคุมกับสิ่งแวดล้อม จากนั้นจะทำการคำนวณค่าดัชนีแต่ละตัวแล้วคืนค่าให้โปรแกรมหลักเพื่อรวบรวมและทำการสรุปต่อไป

ภายในโมดูลประกอบไปด้วยโปรแกรมย่อยอรรถประโยชน์ต่างๆ ที่ใช้ในการคำนวณคุณสมบัติของอากาศแห้งและอากาศเปียก โปรแกรมย่อยต่างๆ ที่วิเคราะห์การเปลี่ยนแปลงที่เกิดขึ้นกับร่างกายและโปรแกรมย่อยที่คำนวณค่าดัชนีความสบาย โปรแกรมย่อยที่บรรจุอยู่ในโมดูลเหล่านี้ได้รับการออกแบบให้ทำการคำนวณเฉพาะอย่างเพื่อประโยชน์ในการศึกษาและเป็นแหล่งอ้างอิงแก่นักวิจัยคนอื่นๆ ดังนั้นการคำนวณค่าดัชนีแต่ละค่ามีความเกี่ยวข้องกับชุดของโปรแกรมจำนวนหนึ่งและมีความจำเป็นต้องดำเนินการร่วมกัน โปรแกรมย่อยสำคัญที่เชื่อมโยงกับโปรแกรมหลักของ TCAP ได้แก่ โปรแกรมย่อย PMV\_VALUE โปรแกรมย่อย SET\_VALUE และโปรแกรมย่อย DISC\_TSENS

โปรแกรมย่อย PMV\_VALUE มีหน้าที่ในการคำนวณค่า PPD ซึ่งเป็นดัชนีที่ทำนายปฏิกิริยาตอบสนองโดยเฉลี่ยของคนกลุ่มใหญ่ซึ่งแสดงผลการคำนวณตามหน่วยวัดความรู้สึทางความร้อนของ ASHRAE ช่วงของค่า PMV ซึ่งก่อให้เกิดความสบายเชิงความร้อนที่ยอมรับได้ สามารถอ้างอิงได้จาก ISO (7730)

โปรแกรมย่อย SET\_VALUE มีหน้าที่ในการคำนวณค่า SET\* ตามวิธีของ 2NM ซึ่งมีความจำเป็นต้องวิเคราะห์กลไกการทำงานที่เกิดขึ้นในร่างกายไม่ว่าจะเป็นอุณหภูมิที่ผิวหนัง อุณหภูมิที่แกนกลางร่างกาย ความเปียกชื้นที่เกิดขึ้นบนผิวหนังอันเกิดจากการขับเหงื่อหรือแม้กระทั่งอัตราการไหลเวียนโลหิตที่เปลี่ยนแปลงไปในแต่ละเวลา จึงเห็นได้ว่าค่า SET\* เป็นดัชนีที่อยู่ในสภาวะไม่คงที่ซึ่งต่างจากค่า PMV นอกจากค่า SET\* จะสามารถคำนวณได้ในโปรแกรมย่อยนี้แล้ว ค่า ET\* และ  $T_o$  สามารถนำมาคำนวณโดยใช้โปรแกรมนี้ได้เช่นกัน ขอบเขตของดัชนีที่ทำให้บุคคลมีความสบายเชิงความร้อนได้อธิบายไว้อย่างละเอียดใน ASHRAE Standard 55 (ASHRAE 1992/1995)

โปรแกรมย่อย DISC\_TSENS มีหน้าที่ในการวิเคราะห์ดัชนีความสบายเชิงความร้อนตามวิธีของ 2NM ที่สำคัญอีก 2 ตัวคือ DISC และ TSENS ดัชนีทั้งสองตัวนี้จะนำมาวิเคราะห์ควบคู่ไปกับค่าดัชนีอื่นๆ ที่กล่าวมาแล้ว

ขั้นตอนการคำนวณอย่างละเอียดของทุกโมดูลที่กล่าวมานี้แสดงให้เห็นถึงการทำงานในภาพรวมของ TCAP ได้เป็นอย่างดี รายละเอียดของกระบวนการทำงานสามารถดูได้จาก

ตัวโปรแกรมโดยตรง นอกจากนี้ยังสามารถค้นคว้าเพิ่มเติมได้จากเอกสารอ้างอิงต่างๆตามที่ระบุไว้ในรายการอ้างอิง

## ค.9 การตรวจสอบโปรแกรม

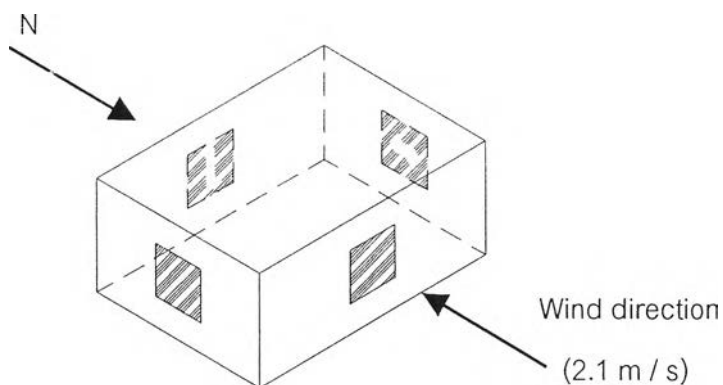
เมื่อทราบถึงแนวคิดรวมถึงวิธีการคำนวณของโปรแกรม TCAP แล้วขั้น ตอนต่อไป จะนำเสนอถึงความถูกต้องแม่นยำของโปรแกรมที่สร้างขึ้นเทียบกับโปรแกรมการคำนวณเฉพาะทางที่มีใช้อยู่ในปัจจุบัน ตามที่กล่าวมาแล้วว่าโมดูลที่เป็นหัวใจของการคำนวณในโปรแกรม TCAP ก็คือโมดูล TCAP\_HBcompute และโมดูล TCAP\_FlowAnalyse ดังนั้นการตรวจสอบผลการคำนวณจึงมุ่งเน้นไปที่ความถูกต้องของโมดูลทั้งสองเป็นสำคัญ แต่จากการที่โมดูลทั้งคู่มีรากฐานการพัฒนามาจากการวิเคราะห์ปัญหาที่ต่างกัน ดังนั้นจึงจำเป็นต้องนำโปรแกรมสำหรับวิเคราะห์ปัญหานั้นๆ มาเป็นเกณฑ์อ้างอิง HBfort (Perderson, C.O., 1998) และ ASCOS (Klote, J.H., 1992) ซึ่งเป็นโปรแกรมมาตรฐานของ ASHRAE ที่ใช้ในการคำนวณภาระการทำความเย็นด้วยวิธีสมดุลความร้อนสำหรับหนึ่งโซนควบคุมและใช้ในการวิเคราะห์การไหลของอากาศในระบบควบคุม ควันไฟนั้นถูกนำมาเป็นแม่แบบในการพัฒนาและตรวจสอบถึงความถูกต้อง นอกจากนี้โปรแกรม LoadCal ของ สมบูรณ์ (2543) ซึ่งใช้ในการวิเคราะห์การถ่ายเทความร้อนของระบบหลังคาด้วยระเบียบวิธีสมดุลความร้อนและเป็นโปรแกรมตั้งต้นที่ TCAP พัฒนาต่อมานั้นถูกนำมาแสดงผลเชิงเปรียบเทียบเพื่อให้เห็นถึงความแม่นยำของการคำนวณและความก้าวหน้าของโปรแกรม TCAP รายละเอียดและขั้นตอนการตรวจสอบสามารถศึกษาได้จากหัวข้อที่จะนำเสนอต่อไปนี้

### ค.9.1 ความถูกต้องของโมดูล TCAP\_HBcompute

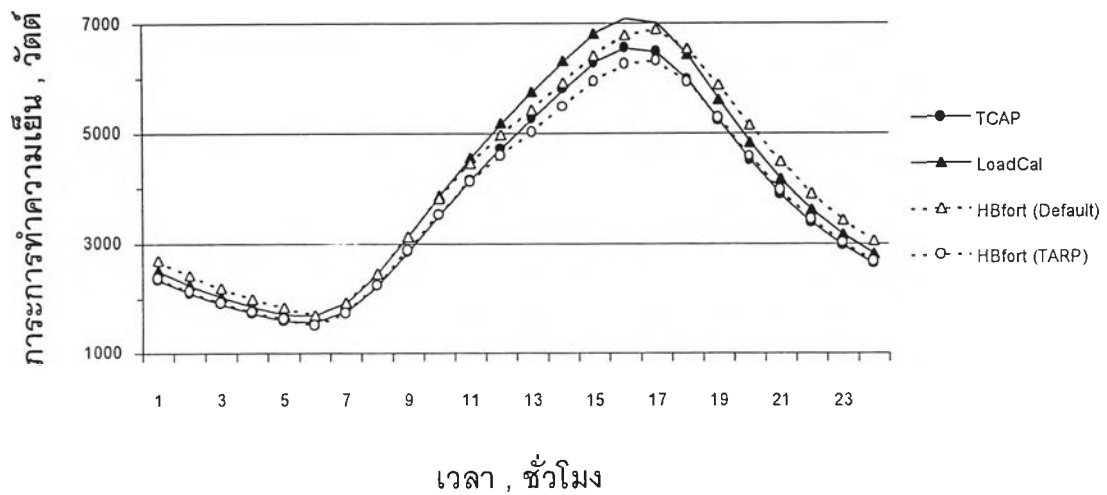
โมดูล TCAP\_HBcompute ที่เป็นหัวใจของการคำนวณสมดุลความร้อนของโปรแกรม TCAP ถูกนำมาตรวจสอบด้วยโปรแกรม HBfort ซึ่งได้รับการออกแบบมาเพื่อคำนวณภาระการทำความเย็นของโซนควบคุมเดี่ยวที่มีลักษณะเป็นรูปสี่เหลี่ยมมุมฉาก รายละเอียดของโครงสร้างกำแพง ผนัง หลังคา ตำแหน่งที่ตั้งรวมถึงลักษณะภูมิอากาศสามารถกำหนดได้อย่างอิสระโดยแสดงผลการคำนวณอยู่ในรูปภาระการทำความเย็นที่เวลาต่างๆ อย่างไรก็ตามผลการคำนวณของโมดูล TCAP\_HBcompute ไม่สามารถตรวจสอบด้วยโปรแกรมดังกล่าวได้โดยตรง เนื่องจากในการวิเคราะห์ของโมดูลจะพิจารณาถึงรายละเอียดปลีกย่อยจำนวนมาก จากที่กล่าวมาทั้งหมดทำให้ทราบว่าโมดูล TCAP\_HBcompute จะคำนึงถึงอัตราการระบายอากาศและการรั่วซึมในแต่ละชั่วโมง ค่าการสะท้อนรังสีความร้อนของพื้นดินที่เปลี่ยนแปลงไปตามตำแหน่งของดวงอาทิตย์ ความเร็วลมและทิศทางที่แปรเปลี่ยนไปตลอดทั้งวัน รวมถึงรายละเอียดของแหล่งภาระ

ภายในซึ่งสามารถกำหนดได้อย่างอิสระตลอด 24 ชั่วโมง อย่างไรก็ตามความสามารถในการคำนวณทั้งหมดที่กล่าวมานี้ของโมดูล TCAP\_HBcompute จำเป็นต้องตัดทอนออกเพื่อให้สามารถตรวจสอบด้วยโปรแกรม HBfort ได้ สำหรับโครงสร้างของโปรแกรม HBfort แม้ว่าจะมีความสามารถในการคำนวณที่จำกัดอยู่เฉพาะห้องสี่เหลี่ยมมุมฉากและคำนวณได้เฉพาะค่าภาระการทำความเย็นเท่านั้น แต่โครงสร้างนี้ไม่เป็นอุปสรรคในการตรวจสอบเนื่องจากโมดูลสามารถวิเคราะห์โหนดความชื้นหรือสองโหนดก็ได้ นอกจากนี้ยังสามารถคำนวณค่าอุณหภูมิอากาศในโซนหรือภาระการทำความเย็นตามวัตถุประสงค์ของการใช้งานได้อีกด้วย

ปัญหาพื้นฐานที่ถูกเลือกมาเพื่อตรวจสอบถึงความถูกต้องของโปรแกรมได้แก่ห้องรูปทรงสี่เหลี่ยมมุมฉากขนาด 5 m x 7 m x 3 m ซึ่งนำกระจกมาตรฐานแบบบางและมีชั้นเดี่ยวหนา 1/6" ขนาด 1.4 m x 1.4 m มาติดตั้งที่กำแพงทั้งสี่ด้านของห้อง ในการจะคำนวณพิจารณาค่าอุณหภูมิอากาศของกรุงเทพมหานครเมื่อวันที่ 1 เมษายน พ.ศ. 2536 ซึ่งอยู่ในฤดูร้อนเป็นสิ่งสำคัญ โดยทำการกำหนดว่าห้องดังกล่าวซึ่งตั้งอยู่ในภูมิภาคเปิดโล่งถูกลมพัดด้วยความเร็ว 2.1 m/s พัดเข้ามาทางทิศเหนืออย่างสม่ำเสมอ นอกจากนี้ยังกำหนดให้การสะท้อนรังสีจากดวงอาทิตย์ของพื้นดินมีค่า 0.25 คงที่ตลอดทั้งวันรวมทั้งไม่มีแหล่งความร้อนใดๆอยู่ในห้องที่ทำการพิจารณา รูปทรงของห้องที่ใช้ในการคำนวณสามารถพิจารณาได้จากรูป ค.5



รูป ค.5 ห้องสี่เหลี่ยมมุมฉากที่นำมาคำนวณค่าภาระการทำความเย็น



รูป ค.6 ค่าการกระการทำความเย็นที่คำนวณได้จากโปรแกรมต่างๆ

รูป ค.6 นำเสนอถึงค่าการกระการทำความเย็นของห้องที่ใช้ศึกษาในแต่ละชั่วโมง โดยพบว่าผลการคำนวณจากโปรแกรม LoadCal กับโปรแกรม HBfort ซึ่งใช้ค่าตั้งต้นของสัมประสิทธิ์การพาความร้อน ( $h_c$ ) ที่มีค่าคงที่นั้นมีค่าใกล้เคียงกันมากกว่าผลการคำนวณจากโมดูล TCAP\_HBcompute อย่างไรก็ตามการที่โปรแกรม LoadCal คำนวณค่า  $h_c$  จากแบบจำลองของ BLAST Detailed Convection Model ซึ่งต่างจากค่าตั้งต้นของโปรแกรม HBfort ดังนั้นจึงไม่สามารถนำผลการคำนวณมาเปรียบเทียบกันได้ หากทำการกำหนดให้โปรแกรม HBfort นำแบบจำลอง TARP Detailed Convection Model มาคำนวณเช่นเดียวกับโมดูล TCAP\_HBcompute ดังรูป ค.6 แล้วสามารถเห็นได้ว่าการกระการทำความเย็นที่คำนวณได้มีค่าใกล้เคียงกันมากโดยที่ผลการคำนวณตั้งแต่เวลา 1:00 น. ถึง 11:00 น. และช่วงเวลาตั้งแต่ 17:00 น. ถึง 24:00 น. ค่าที่ได้จากทั้งสองโปรแกรมเกือบมีค่าเท่ากัน นอกจากนี้ยังพบว่าความผิดพลาดที่ตำแหน่งภาระสูงสุด ณ เวลา 16:00 น. มีค่าเพียง 4.79% ส่วนผลการคำนวณของโปรแกรม LoadCal ซึ่งคำนวณด้วยแบบจำลอง  $h_c$  ที่ต่างออกไปนั้นไม่มีผลใดๆต่อการคำนวณเนื่องจากบ้านจำลองที่กำลังพิจารณาตั้งอยู่บนภูมิประเทศเปิดจึงทำให้แบบจำลองของ BLAST เท่ากันทุกประการกับแบบจำลองของ TARP ดังนั้นจึงกล่าวได้ว่าผลการคำนวณของโปรแกรม LoadCal เบี่ยงเบนไปจากโปรแกรม HBfort อย่างเห็นได้ชัด เพราะฉะนั้นสามารถสรุปได้ว่าโมดูล TCAP\_HBcompute สามารถวิเคราะห์สมดุลความร้อนที่เกิดขึ้นได้อย่างแม่นยำและมีความผิดพลาดน้อยกว่าโปรแกรม LoadCal ซึ่งเป็นโปรแกรมต้นแบบของการพัฒนา

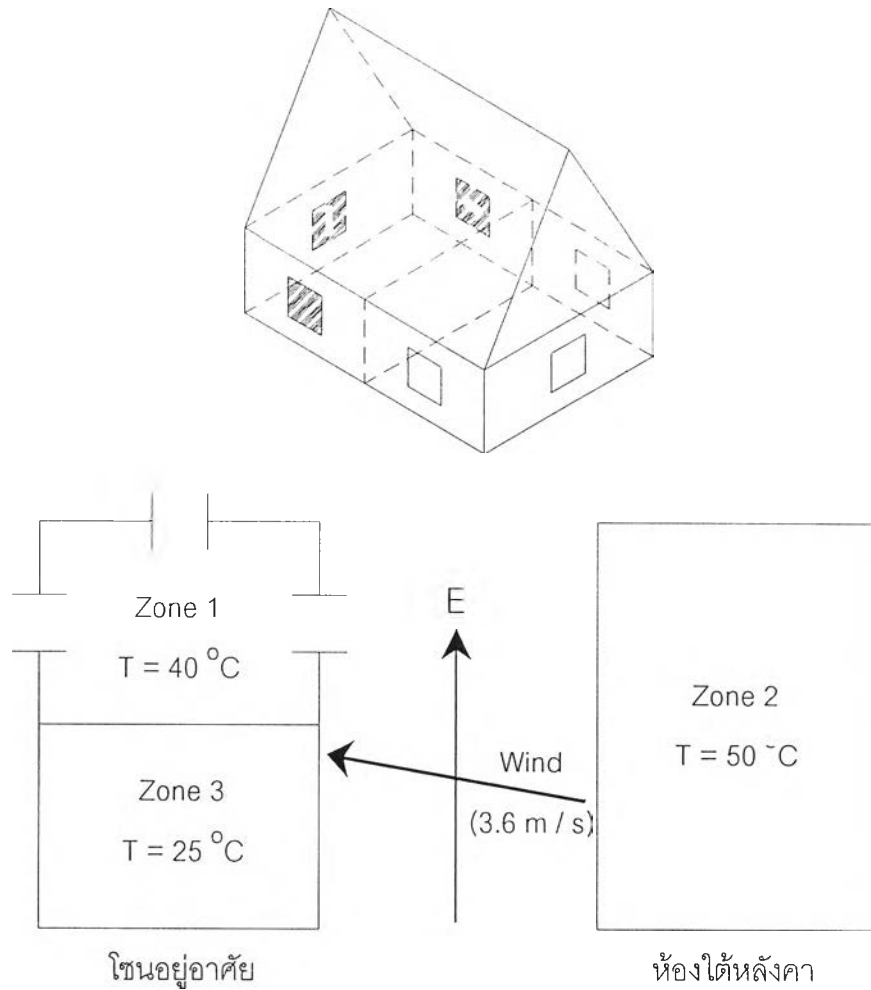
## ค.9.2 ความถูกต้องของโมดูล TCAP\_FlowAnalyse

โมดูล TCAP\_FlowAnalyse ได้รับการออกแบบเพื่อวิเคราะห์ถึงการถ่ายเทความร้อนที่เกิดขึ้นภายในอาคารโดยคำนวณควบคู่ไปกับโมดูล TCAP\_HBcompute การตรวจสอบถึงความถูกต้องทำได้โดยนำโปรแกรม ASCOS ซึ่งเป็นโปรแกรมของ ASHRAE มาใช้ ทั้งนี้เนื่องจากโมดูลถูกสร้างขึ้นโดยมี ASCOS เป็นแบบอย่างแต่จำกัดการคำนวณให้สามารถวิเคราะห์ที่โซนควบคุมได้ไม่เกินสามโซน พร้อมทั้งตัดการวิเคราะห์เกี่ยวกับโถงบันไดและปล่องต่างๆ ซึ่งไม่จำเป็นต่อการคำนวณออก อย่างไรก็ตามโมดูล TCAP\_FlowAnalyse ได้เพิ่มเติมความสามารถในการคำนวณด้านอื่นๆ นอกเหนือจากความสามารถที่มีอยู่เดิมใน ASCOS อันได้แก่การคำนวณค่าสัมประสิทธิ์ความดันลม ( $c_w$ ) และค่าตัวประกอบสิ่งกีดขวาง ( $s$ ) เพื่อให้โมดูล TCAP\_FlowAnalyse เหมาะสมต่อการวิเคราะห์อาคารเดี่ยวมากกว่าโปรแกรม ASCOS ที่ได้รับการออกแบบมาสำหรับอาคารสูง ดังนั้นข้อมูลป้อนเข้าของทั้งสองโปรแกรมจำเป็นต้องมีลักษณะที่ต่างกันเพื่อสามารถนำผลการคำนวณมาเปรียบเทียบกันได้ ข้อมูลป้อนเข้าของโมดูล TCAP\_FlowAnalyse สามารถอยู่ในรูปของข้อมูลอากาศโดยตรงได้เนื่องจากโมดูลจะทำการคำนวณค่าสัมประสิทธิ์ต่างๆ เพื่อมาวิเคราะห์ความดันตกคร่อมอาคารเดี่ยวได้ด้วยตนเอง แต่สำหรับโปรแกรม ASCOS ที่ออกแบบมาสำหรับอาคารสูงพบว่าไม่สามารถคำนวณค่าสัมประสิทธิ์ต่างๆ ได้ด้วยตนเองและไม่ได้พิจารณาถึงผลกระทบจากสิ่งกีดขวางรอบตัวอาคาร ดังนั้นข้อมูลป้อนเข้ามีความจำเป็นต้องอยู่ในรูปของความดันที่พื้นผิวภายนอกกำแพงโดยตรงจึงสามารถวิเคราะห์การไหลที่เกิดขึ้นในอาคารเดี่ยวได้

รูป ค.7 แสดงถึงรูปทรงของบ้านจำลองที่นำมาตรวจสอบถึงผลการคำนวณจากโมดูล TCAP\_FlowAnalyse เทียบกับผลการวิเคราะห์จากโปรแกรม ASCOS บ้านจำลองดังกล่าวมีขนาด 7 m x 10 m x 3 m หลังคาเป็นหน้าจั่ว 60 องศา มุงด้วยกระเบื้องคอนกรีตและตั้งอยู่บนภูมิประเทศเปิดโล่งในทิศตามตะวัน โชนที่อยู่อาศัยถูกแบ่งครึ่งออกเป็นสองส่วนซึ่งมีลักษณะที่แตกต่างกัน โชนแรกมีอุณหภูมิ 40 °C และเจาะช่องเปิดขนาด 1.4 m x 1.4 m ที่ตำแหน่งกึ่งกลางของกำแพงทั้งสามด้าน ส่วนอีกโชนหนึ่งจะติดตั้งกระจกมาตรฐานหนา 1/8" บนกำแพง ณ ตำแหน่งเดียวกับช่องเปิดที่อยู่บนโชนแรก จากนั้นเปิดเครื่องปรับอากาศเพื่อให้อุณหภูมิภายในโชนคงที่ที่ระดับ 25 °C สำหรับห้องใต้หลังคาถูกกำหนดให้มีอุณหภูมิ 50 °C สม่่าเสมอตลอดทั้งโชนโดยมีรอยรั่วซึมปรากฏอยู่ตามรอยต่อของกระเบื้องมุงหลังคา หากพิจารณาว่าสิ่งแวดล้อมภายนอกมีอุณหภูมิคงที่ 28 °C โดยมีลมพัดสม่่าเสมอด้วยความเร็ว 3.6 m/s มาทางทิศใต้เฉียงไปทางด้าน



ตะวันออก  $10^\circ$  แล้วอัตราการไหลของอากาศรวมถึงความดันตกคร่อมช่องทางการไหลซึ่งคำนวณโดยโปรแกรม ASCOS และโมดูล TCAP\_FlowAnalyse สามารถแสดงได้ดังตาราง ค.1



รูป ค.7 บ้านตัวอย่างที่นำมาวิเคราะห์การไหลของอากาศ

ตาราง ค.1 นำเสนอถึงผลการวิเคราะห์ของบ้านตัวอย่างด้วยโมดูล TCAP\_FlowAnalyse เทียบกับโปรแกรม ASCOS และพบว่าผลการคำนวณมีค่าใกล้เคียงกันมาก โดยที่ความผิดพลาดสัมพัทธ์มีค่าสูงสุดไม่เกิน 12.5% ความคลาดเคลื่อนของโมดูล TCAP\_FlowAnalyse นั้นเกิดจากการกำหนดเงื่อนไขการลู่ออกให้มีความละเอียดน้อยกว่า ASCOS เพื่อให้โมดูลคำนวณด้วยเวลาที่น้อยกว่า ทั้งนี้เนื่องจากผลการคำนวณอัตราการไหลในแต่ละรอบการทำซ้ำมีใช้ค่าที่แท้จริงอันเป็นผลมาจากค่าอุณหภูมิภายในบริเวณควบคุมซึ่งคำนวณด้วยโมดูล TCAP\_HBcompute นั้นเป็นหนึ่งในตัวแปรที่ไม่ทราบค่า จึงไม่มีความจำเป็นต้องคำนวณค่าอัตราการไหลที่มีความแม่นยำถึงหลายตำแหน่งทศนิยม ด้วยเหตุนี้จึงสามารถสรุปได้ว่าโมดูล TCAP\_FlowAnalyse มีความถูกต้องแม่นยำสูงและสามารถสนับสนุนการคำนวณภายในโปรแกรม TCAP ได้อย่างมีประสิทธิภาพ

ตาราง ค.1 ผลการวิเคราะห์อัตราการไหลของอากาศผ่านบ้านตัวอย่าง

โซน	ความดันเกจ ( Pa )		เชื่อมต่อกับ	ความดันตกคร่อม ( Pa )		อัตราการไหล ( m <sup>3</sup> /s )		ความผิดพลาด
	ASCOS	TCAP		ASCOS	TCAP	ASCOS	TCAP	
1	155.4	155.4	โซน 3	-0.5	-0.5	-0.002	-0.002	0.0%
			โซน 2	-1.8	-1.8	-0.008	-0.009	1.5%
			ทิศ ต.อ.	-1.0	-1.0	-1.568	-1.668	12.5%
			ทิศ ใต้	2.7	2.7	2.694	2.755	2.3%
			ทิศเหนือ	-0.5	-0.5	-1.112	-1.119	0.6%
			2	104.2	104.2	โซน 1	1.8	1.8
2	104.2	104.2	โซน 3	0.2	0.2	0.002	0.002	0.0%
			ทิศ ต.อ.	-2.6	-2.6	-0.007	-0.007	0.0%
			ทิศ ใต้	2.8	2.8	0.020	0.021	5.0%
			ทิศ ต.ต.	-3.9	-3.9	-0.008	-0.009	12.5%
			ทิศเหนือ	-1.9	-1.9	-0.016	-0.018	12.5%
			3	154.9	154.9	โซน 1	0.5	0.5
โซน 2	-0.2	-0.2				-0.002	-0.002	0.0%
ทิศ ใต้	3.2	3.2				0.005	0.005	0.0%
ทิศ ต.ต.	-1.4	-1.4				-0.004	-0.004	0.0%
ทิศเหนือ	0.0	0.0				0.000	0.000	0.0%

### ค.9.3 ความถูกต้องของโปรแกรม TCAP

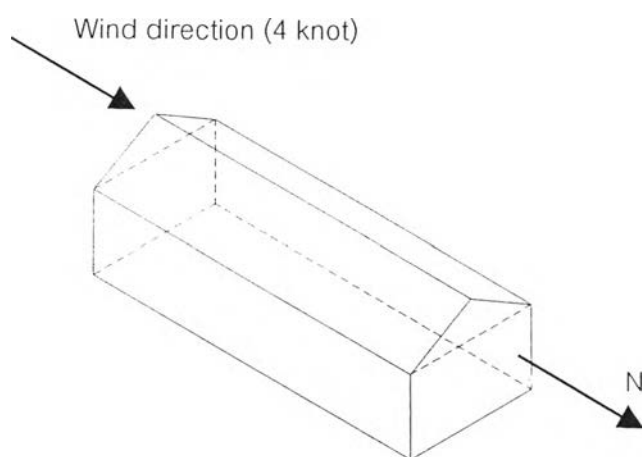
จากหัวข้อที่ผ่านมาได้ทำการตรวจสอบถึงความถูกต้องของโมดูล TCAP\_HBcompute และโมดูล TCAP\_FlowAnalyse ซึ่งเป็นโมดูลหลักของการคำนวณในโปรแกรม TCAP ในขั้นตอนนี้จะทำการตรวจสอบถึงความถูกต้องของโปรแกรม TCAP ว่ามีแนวโน้มสอดคล้องกับความเป็นจริงหรือไม่ แต่จากการวิจัยครั้งนี้ไม่มีการทดลองเพื่อตรวจสอบถึงความแม่นยำของผลการคำนวณ อีกทั้งไม่มีงานวิจัยที่มีลักษณะใกล้เคียงมาอ้างอิง จึงจำเป็นต้องตรวจสอบโดยกำหนดสภาพแวดล้อมรวมทั้งเงื่อนไขการคำนวณต่างๆ ให้ใกล้เคียงกับกรณีที่จะคาดเดาถึงแนวโน้มของผลการคำนวณได้ ในที่นี้จะนำบ้านจำลองกรณีพื้นฐานที่ไม่มีกันสาดและช่องเปิดซึ่งถูกใช้เป็นกรณีอ้างอิงสำหรับงานวิจัยมาเป็นกรณีศึกษา บ้านจำลองกรณีพื้นฐานถูกกำหนดให้มีขนาดเท่ากับ 5 m x 13 m x 3 m วางตัวอยู่ในทิศขวางตะวัน ระบบหลังคาเป็นรูปหน้าจั่วทำมุม 30 องศากับแนวระดับ มุงด้วยกระเบื้องคอนกรีตและไม่มีส่วนใดส่วนหนึ่งยื่นออกมาเป็นร่มเงาให้แก่กำแพง ฝ้าเพดานที่ทำด้วยแผ่นยิปซัมหนา 9 mm ถูกติดตั้งเข้าไปเพื่อแบ่งบ้านจำลองดังกล่าวออกเป็นสองโซนควบคุมอันได้แก่บริเวณที่อยู่อาศัยและห้องใต้หลังคา กำแพงแต่ละด้านก่อด้วยอิฐมอญขนาด 3" และ ทั้งสองด้านฉาบปูนหนา 1/2" โดยไม่ทำการติดฉนวนความร้อนหรือวัสดุใดๆเพิ่มเติมเข้าไป พื้นทำจากคอนกรีตเสริมเหล็กหนา 6" ซึ่งวางอยู่บนเสาเข็มซึ่งลึกลงไปใต้พื้นดิน รูปทรงของบ้านจำลองมีการนำเสนอไว้ในรูป ค.8

การตรวจสอบโปรแกรมจะพิจารณาถึงแนวโน้มของอุณหภูมิพื้นผิวต่างๆ ซึ่งคำนวณอยู่ในระยะเวลาและเงื่อนไขที่กำหนด ดวงอาทิตย์ถูกกำหนดให้อยู่ในตำแหน่งเดียวกันกับวันที่ 30 เมษายน พ.ศ. 2536 โดยไม่มีการเคลื่อนที่ อุณหภูมิกระเปาะแห้งและกระเปาะเปียกตามรูป ค.9 ซึ่งการกำหนดขึ้นมานั้นถูกนำมาคำนวณเพื่อแสดงถึงลักษณะอากาศในแต่ละวันซึ่งจะเหมือนเดิมเสมอไม่ว่าเวลาจะผ่านไปนานเท่าไรก็ตาม นอกจากนี้ยังกำหนดให้ลมพัดด้วยความเร็ว 4 knot เข้ามาทางทิศใต้ได้อย่างสม่ำเสมอตลอดระยะเวลา 24 ชั่วโมง การตรวจสอบโปรแกรมจะพิจารณาผลการคำนวณในรอบสามวันที่มีลักษณะภูมิอากาศและตำแหน่งของดวงอาทิตย์เหมือนกันทุกประการว่าเป็นไปในทิศทางใด ค่าอุณหภูมิของแต่ละพื้นผิวปรากฏเป็นคาบของเวลาหรือไม่ และค่าอุณหภูมิเหล่านี้มีขนาดเท่ากันหรือไม่ รวมทั้งพิจารณาว่าค่าอุณหภูมิพื้นผิวที่เปลี่ยนแปลงไปในแต่ละวันมีขนาดเท่าไรเมื่อเทียบกับค่าอุณหภูมิอากาศ ค่าอุณหภูมิพื้นผิวต่างๆ ที่คำนวณจากโปรแกรม TCAP โดยอยู่ในเงื่อนไขทั้งหมดที่กล่าวมานี้แสดงอยู่ในรูป ค.10

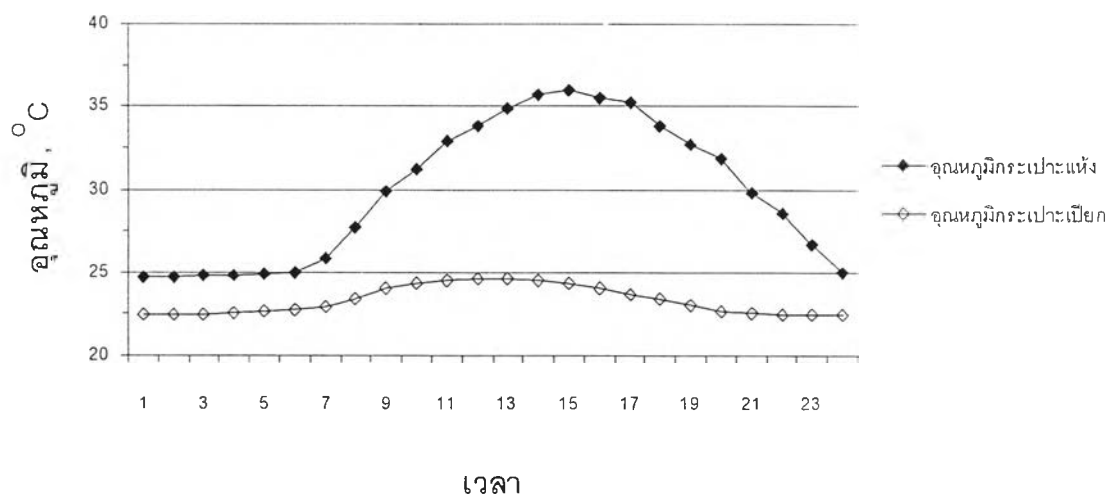
รูป ค.10 แสดงค่าอุณหภูมิบนพื้นผิวต่างๆ รวมถึงอุณหภูมิอากาศภายในบริเวณควบคุมโดยแสดงผลเทียบกับเวลาสุริยะและค่าอุณหภูมิของอากาศภายนอก เมื่อพิจารณาผลการคำนวณพบว่าค่าอุณหภูมิของแต่ละพื้นผิวมีลักษณะเป็นคาบตามเวลาในรอบ 24 ชั่วโมงและมีขนาดที่เท่ากันในแต่ละวันซึ่งตรงกับที่คาดการณ์ไว้ในตอนต้น ดังนั้นสามารถมั่นใจในผลการคำนวณของโปรแกรม TCAP ได้ในอีกระดับ นอกจากนี้เพื่อให้เข้าใจถึงภาพรวมของปริมาณความร้อนที่เข้าสู่บ้านจำลองกรณีพื้นฐานซึ่งใช้เป็นกรณีอ้างอิงในงานวิจัย จึงจำเป็นต้องพิจารณาถึงทิศทางการเปลี่ยนแปลงของค่าอุณหภูมิในแต่ละพื้นผิวตามรูป ค.10 โดยละเอียด รวมทั้งพิจารณาด้วยว่าผลการคำนวณดังกล่าวสอดคล้องกับความเป็นจริงหรือไม่

จากการพิจารณาทำให้ทราบว่าอุณหภูมิของกำแพงด้านนอกทางทิศตะวันออกเริ่มมีค่าสูงขึ้นตั้งแต่ช่วงเช้าและเพิ่มขึ้นอย่างรวดเร็วจนมีค่าสูงสุดเมื่อเวลาประมาณ 12:00 น. จากนั้นอุณหภูมิจะเริ่มลดต่ำลงจนใกล้เคียงกับค่าอุณหภูมิอากาศภายนอก ส่วนอุณหภูมิด้านนอกของกำแพงทางด้านตะวันตกนั้นจะมีลักษณะตรงข้ามกัน อีกทั้งยังมีขนาดอุณหภูมิที่มากกว่าโดยพบว่าอุณหภูมิเริ่มมีค่าสูงขึ้นในช่วงเวลาบ่ายจนถึงจุดสูงสุดเมื่อเวลาประมาณ 16:00 น. เพราะฉะนั้นกำแพงด้านตะวันตกจึงรับปริมาณความร้อนที่มากกว่าโดยเฉพาะในช่วงเย็น อย่างไรก็ตามถ้าพิจารณาถึงอุณหภูมิของพื้นผิวภายในของกำแพงทั้งสองทิศทางพบว่าอุณหภูมิที่พื้นผิวนี้นี้มีขนาดที่น้อยกว่าพื้นผิวด้านนอกและช่วงเวลาที่อุณหภูมิมีค่าสูงสุดยังถูกหน่วงให้ช้าลง ดังนั้นสามารถกล่าวได้ว่าโครงสร้างกำแพงของบ้านจำลองสามารถป้องกันความร้อนได้ในระดับหนึ่งโดยทำการเก็บความร้อนสะสมไว้แล้วจึงค่อยๆส่งผ่านความร้อนออกมาเมื่อเวลาผ่านไป แต่ลักษณะดังกล่าวกลับให้ผลเสียในช่วงเวลากลางคืน เนื่องจากอุณหภูมิพื้นผิวภายในมีค่ามากกว่าอากาศภายนอกจึงเป็นเหตุให้อุณหภูมิอากาศภายในห้องมีค่าสูงกว่าสิ่งแวดล้อม สำหรับอุณหภูมิพื้นผิวด้านหลังคาทางตะวันตกและตะวันออกนั้นยังคงมีลักษณะเช่นเดียวกับกำแพงเว้นแต่ขนาดของอุณหภูมิจะมีค่าสูงกว่ามาก นอกจากนี้ยังพบว่าค่าของอุณหภูมิพื้นผิวภายในกับภายนอกเกือบไม่แตกต่างกัน ทั้งนี้เกิดจากหลังคาได้รับการมุงด้วยกระเบื้องคอนกรีตที่มีมวลน้อยกว่ากำแพงจึงทำให้หลังคาป้องกันความร้อนรวมทั้งเก็บกักความร้อนได้ไม่ดีเท่า แต่จากการที่หลังคาเก็บสะสมปริมาณความร้อนไว้เพียงเล็กน้อยจึงสามารถคืนความร้อนออกสู่สิ่งแวดล้อมได้อย่างรวดเร็วโดยสังเกตได้จากค่าอุณหภูมิที่ลดต่ำลงอย่างฉับพลันตั้งแต่ช่วงหัวค่ำจนทำให้อุณหภูมิที่พื้นผิวทั้งสองด้านของหลังคามีอุณหภูมิต่ำกว่าอากาศภายนอก ส่วนกำแพงและผนังทั้งทางทิศเหนือและทิศใต้จะพบว่าอุณหภูมิที่พื้นผิวมีค่าน้อยกว่าทางทิศตะวันตกและตะวันออกอย่างเห็นได้ชัด จึงแสดงให้เห็นว่าดวงอาทิตย์มีอิทธิพลต่อทางทิศเหนือและทางใต้น้อยกว่า ดังนั้นหากกำหนดให้บ้านวางตัวอยู่ในทิศตามตะวัน

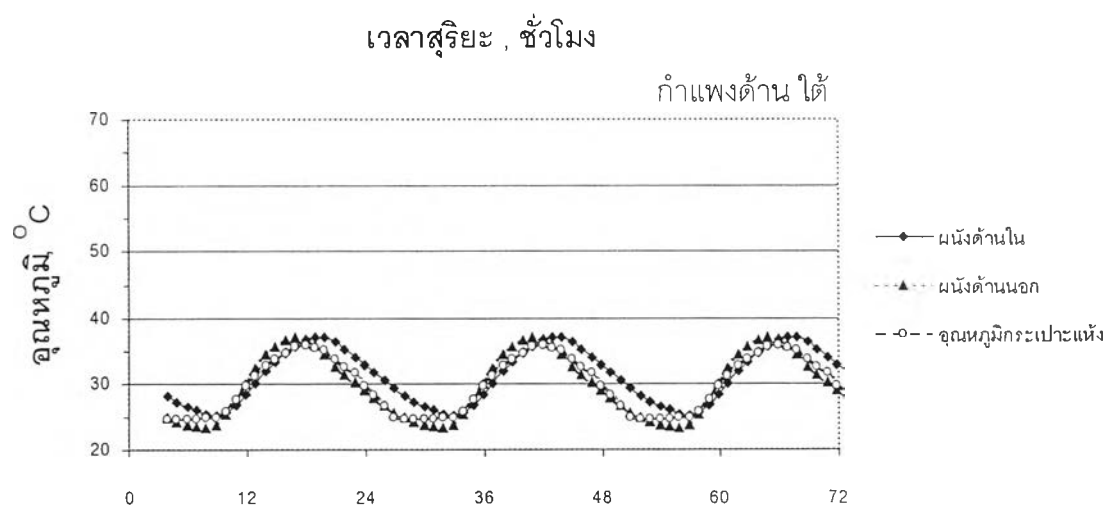
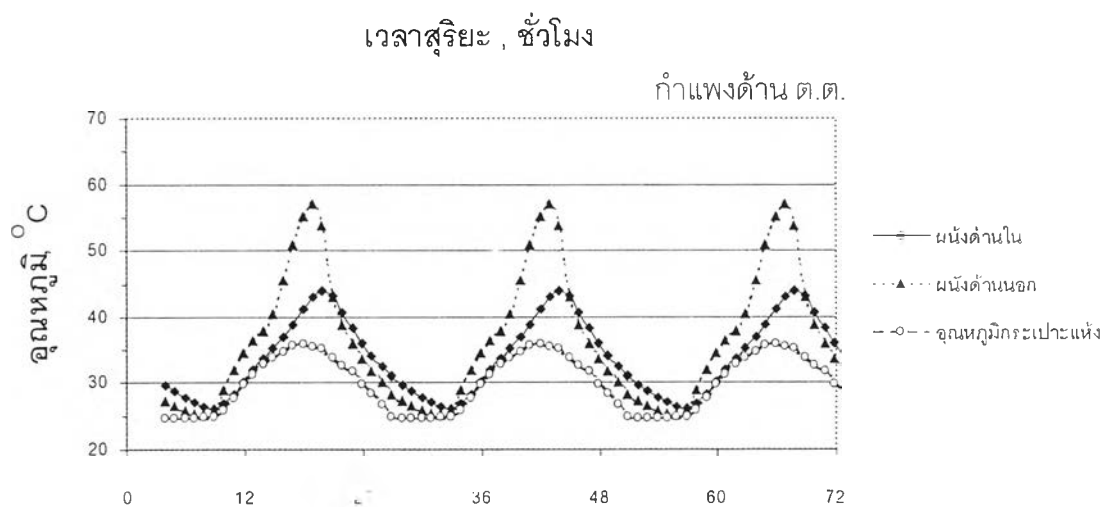
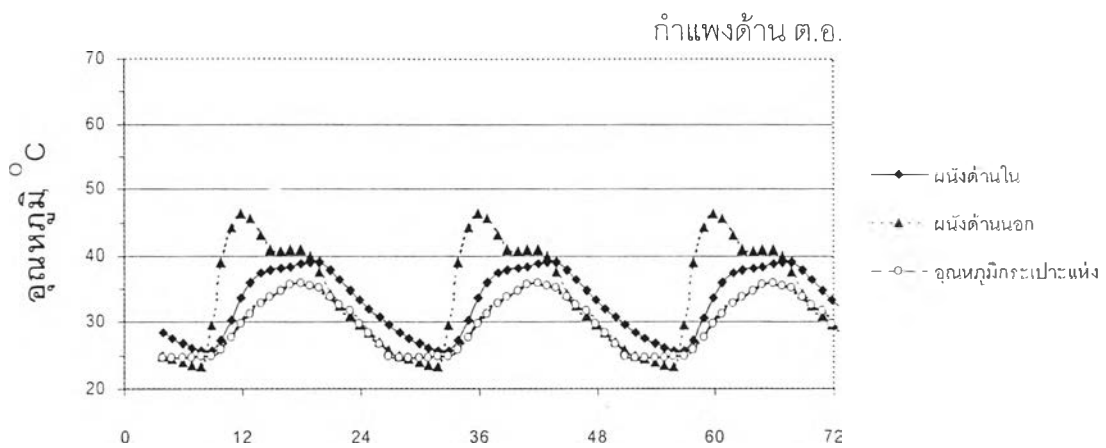
แล้วปริมาณความร้อนที่เข้าสู่อาคารควรมีค่าน้อยกว่าและอาจส่งผลให้ความสุขสบายเชิงความร้อนอยู่ในระดับที่ดีกว่า (รายละเอียดเกี่ยวกับอิทธิพลของทิศอาคารที่มีผลต่อความสุขสบายเชิงความร้อนสามารถศึกษาได้จากบทที่ 4) นอกจากนี้หากเปรียบเทียบค่าอุณหภูมิของกำแพงและหลังคาระหว่างทิศเหนือกับทิศใต้จะพบว่าอุณหภูมิของพื้นผิวทางทิศใต้ซึ่งถูกลมพัดอยู่ตลอดเวลา มีค่าน้อยกว่าทางทิศเหนือ เพราะฉะนั้นสามารถกล่าวได้ว่าลมมีอิทธิพลบางอย่างต่ออุณหภูมิพื้นผิว สำหรับฝ้าเพดานที่แบ่งบ้านจำลองออกเป็นส่วนของห้องใต้หลังคาและโซนอยู่อาศัยนั้นพบว่าฝ้าเพดานทำให้อุณหภูมิอากาศของแต่ละห้องมีความแตกต่างกันมากโดยสังเกตว่าอุณหภูมิของห้องใต้หลังคามีค่าสูงมากในช่วงกลางวันในขณะที่อุณหภูมิภายในห้องมีค่าใกล้เคียงกับอุณหภูมิสิ่งแวดล้อม ในทางกลับกันอุณหภูมิของห้องใต้หลังคามีค่าลดลงอย่างรวดเร็วเมื่อถึงเวลากลางคืนจนมีค่าต่ำกว่าอุณหภูมิของสิ่งแวดล้อม ลักษณะของอุณหภูมิอากาศภายในโซนเช่นนี้สามารถอธิบายได้ด้วยลักษณะโครงสร้างของผนังที่แตกต่างกัน



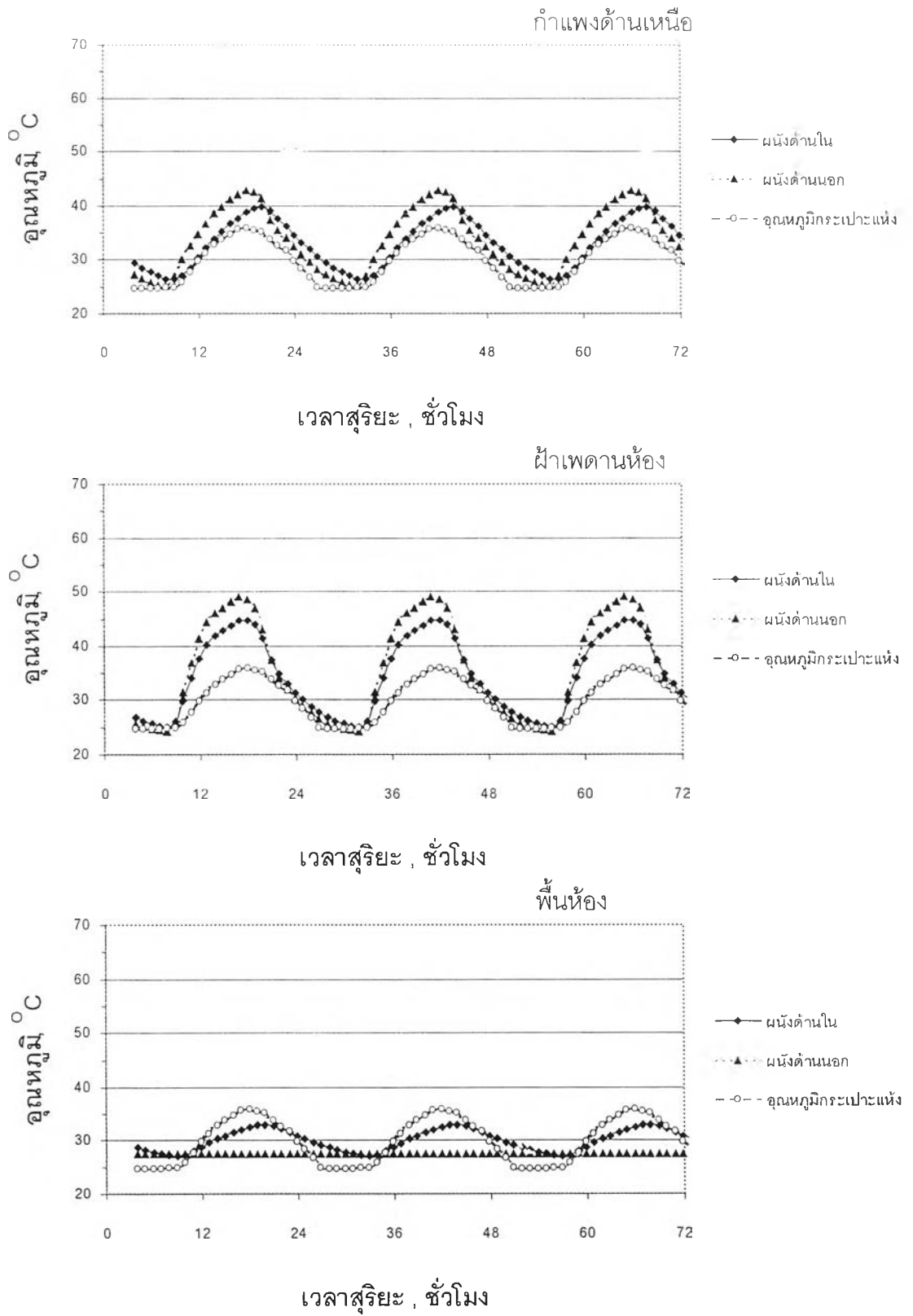
รูป ค.8 รูปทรงของบ้านกรณีพื้นฐานที่ใช้ตรวจสอบความถูกต้องของโปรแกรม TCAP



รูป ค.9 ข้อมูลอากาศที่สมมุติขึ้นเพื่อใช้ทดสอบโปรแกรม

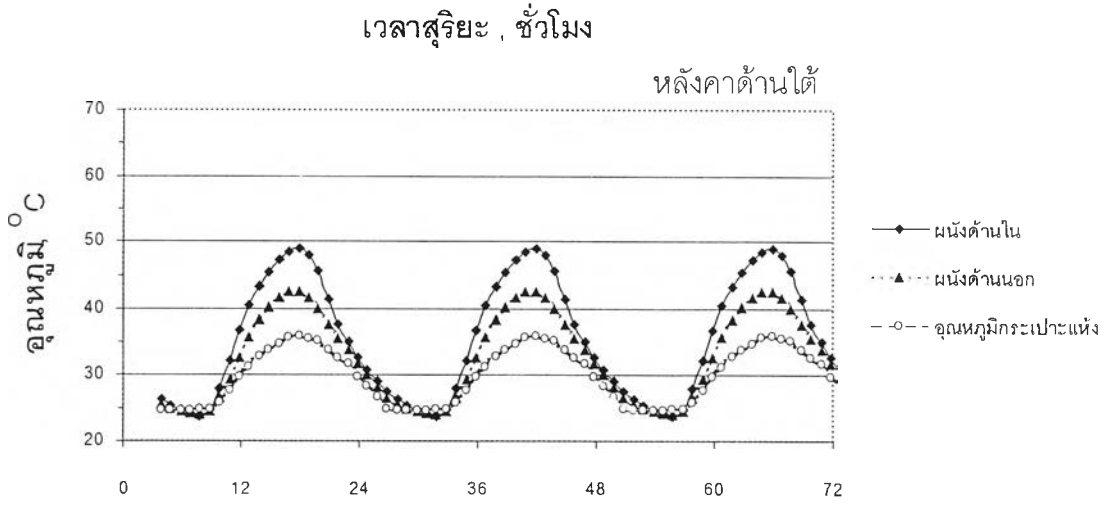
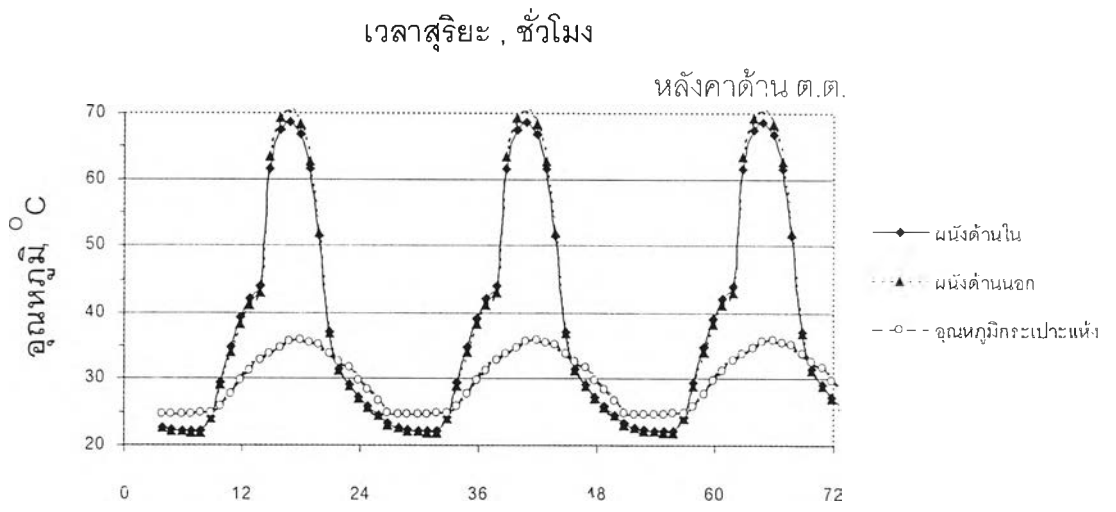
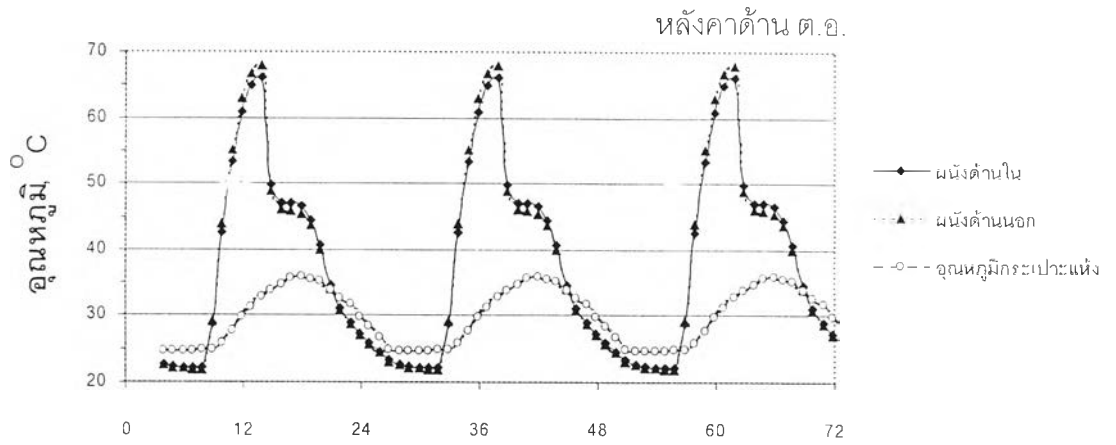


รูป ค.10 อุณหภูมิของแต่ละผนังที่เวลาต่างๆ

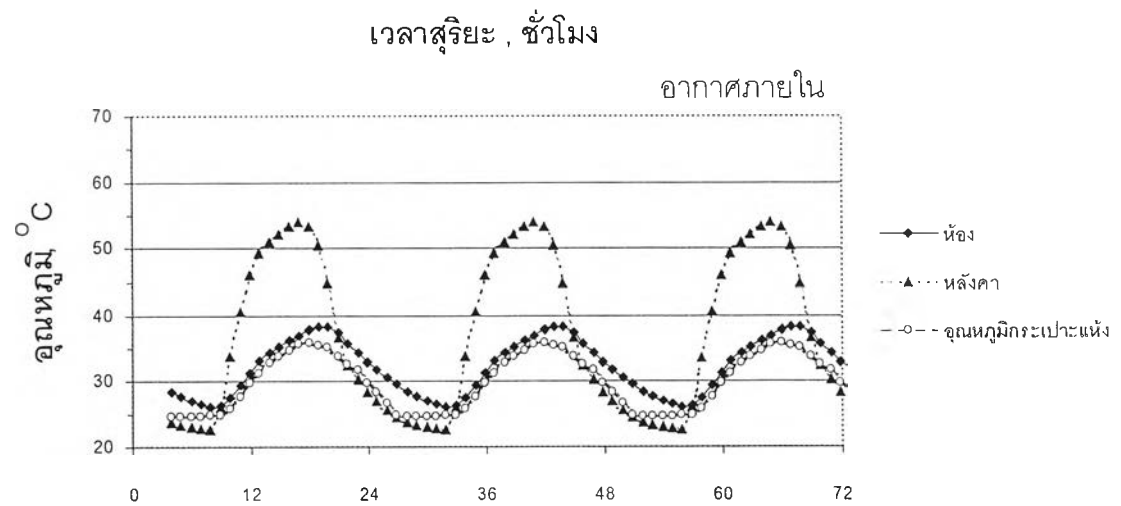
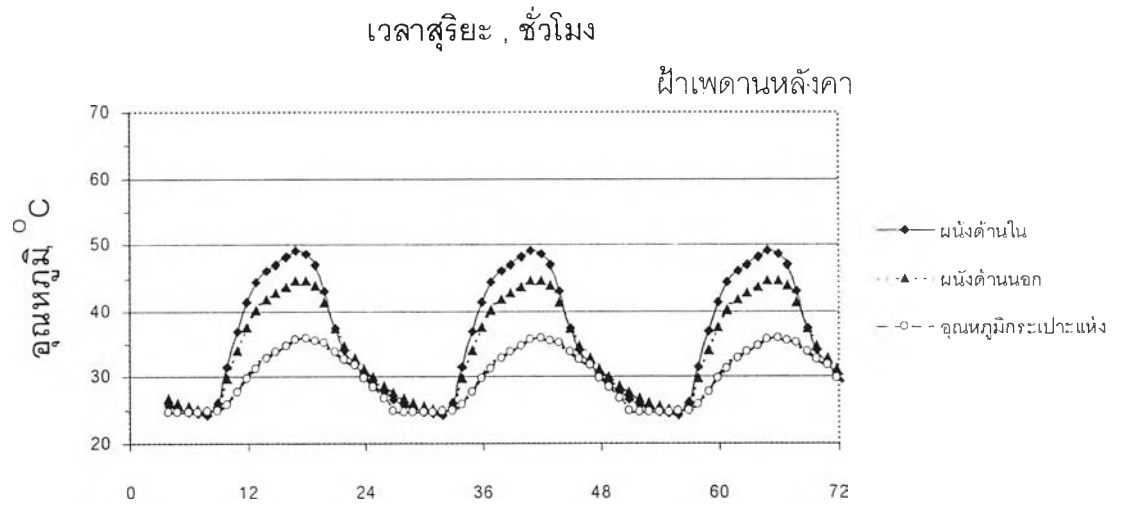
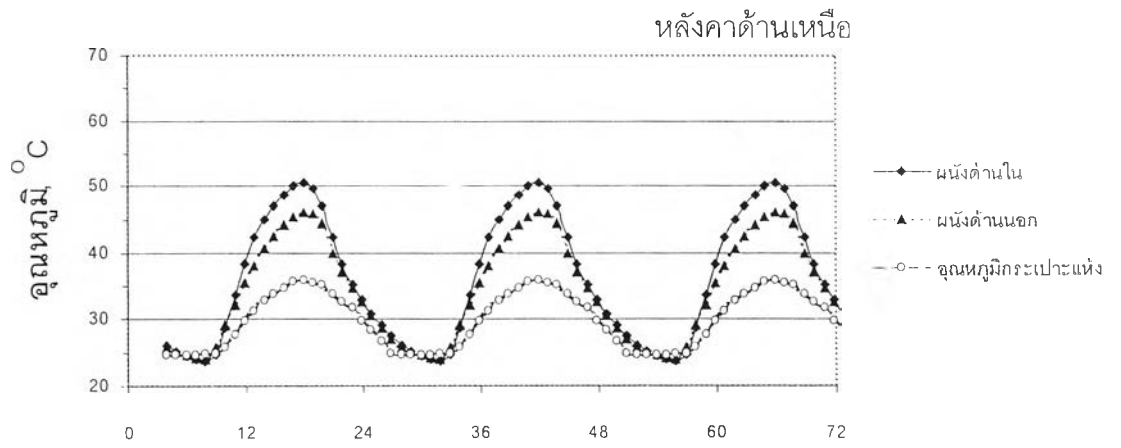


รูป ค.10 (ต่อ) อุณหภูมิของแต่ละผนังที่เวลาต่างๆ





รูป ค.10 (ต่อ) อุณหภูมิของแต่ละผนังที่เวลาต่างๆ



รูป ค.10 (ต่อ) อุณหภูมิของแต่ละผนังที่เวลาต่างๆ

รายละเอียดทั้งหมดที่นำเสนอนี้แสดงภาพรวมของปริมาณความร้อนที่ส่วนต่างๆ ของอาคารได้รับเพื่อประโยชน์ในการพิจารณาถึงความสบายเชิงความร้อนของผู้อยู่อาศัย (นำเสนอไว้ในบทที่ 4) นอกจากนี้ยังแสดงถึง 1.ความสามารถของโมดูล TCAP\_HBCompute ที่วิเคราะห์สมดุลความร้อนที่เกิดขึ้นในอาคารได้อย่างแม่นยำ 2.ศักยภาพของโมดูล TCAP\_FlowAnalyse ที่วิเคราะห์ถึงอัตราการไหลของอากาศซึ่งสามารถเทียบเท่าได้กับโปรแกรม ต้นแบบ และ 3.แนวโน้มของการคำนวณด้วยโปรแกรม TCAP ที่สอดคล้องกับความเป็นจริง เพราะฉะนั้นจึงกล่าวได้ว่าโปรแกรม TCAP มีความถูกต้องและทำให้มั่นใจในผลการวิเคราะห์ได้ในระดับหนึ่ง



## ประวัติผู้เขียนวิทยานิพนธ์

นายอัศรา กิจการเจริญสิน เกิดเมื่อวันที่ 24 มกราคม พ.ศ. 2521 ที่เขตป้อมปราบ กรุงเทพมหานคร สำเร็จการศึกษาระดับปริญญาวิศวกรรมศาสตรบัณฑิต ภาควิชาเครื่องกล คณะวิศวกรรมศาสตร์ จุฬาลงกรณ์มหาวิทยาลัยในปีการศึกษา 2541 และเข้าศึกษาในหลักสูตรวิศวกรรมศาสตรมหาบัณฑิต ภาควิชาเครื่องกล คณะวิศวกรรมศาสตร์มหาบัณฑิต ภาควิชาวิศวกรรมเครื่องกล คณะวิศวกรรมศาสตร์ จุฬาลงกรณ์มหาวิทยาลัยในปีการศึกษา 2542